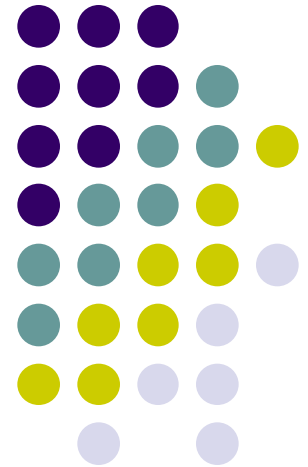


Sistemi Elettronici

Tecnologie e Misure

DSO: prime misure
Modalità di campionamento
Sonda oscilloscopio
Banda e tempo di salita



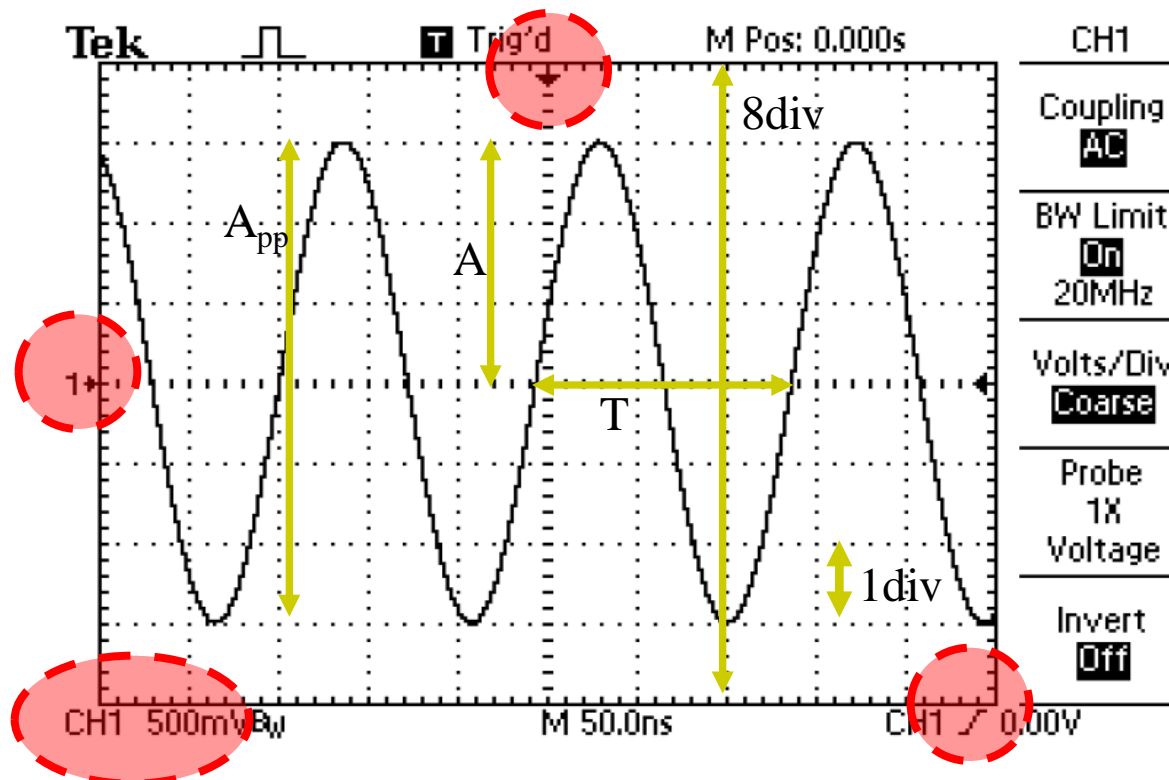
Testo di riferimento:

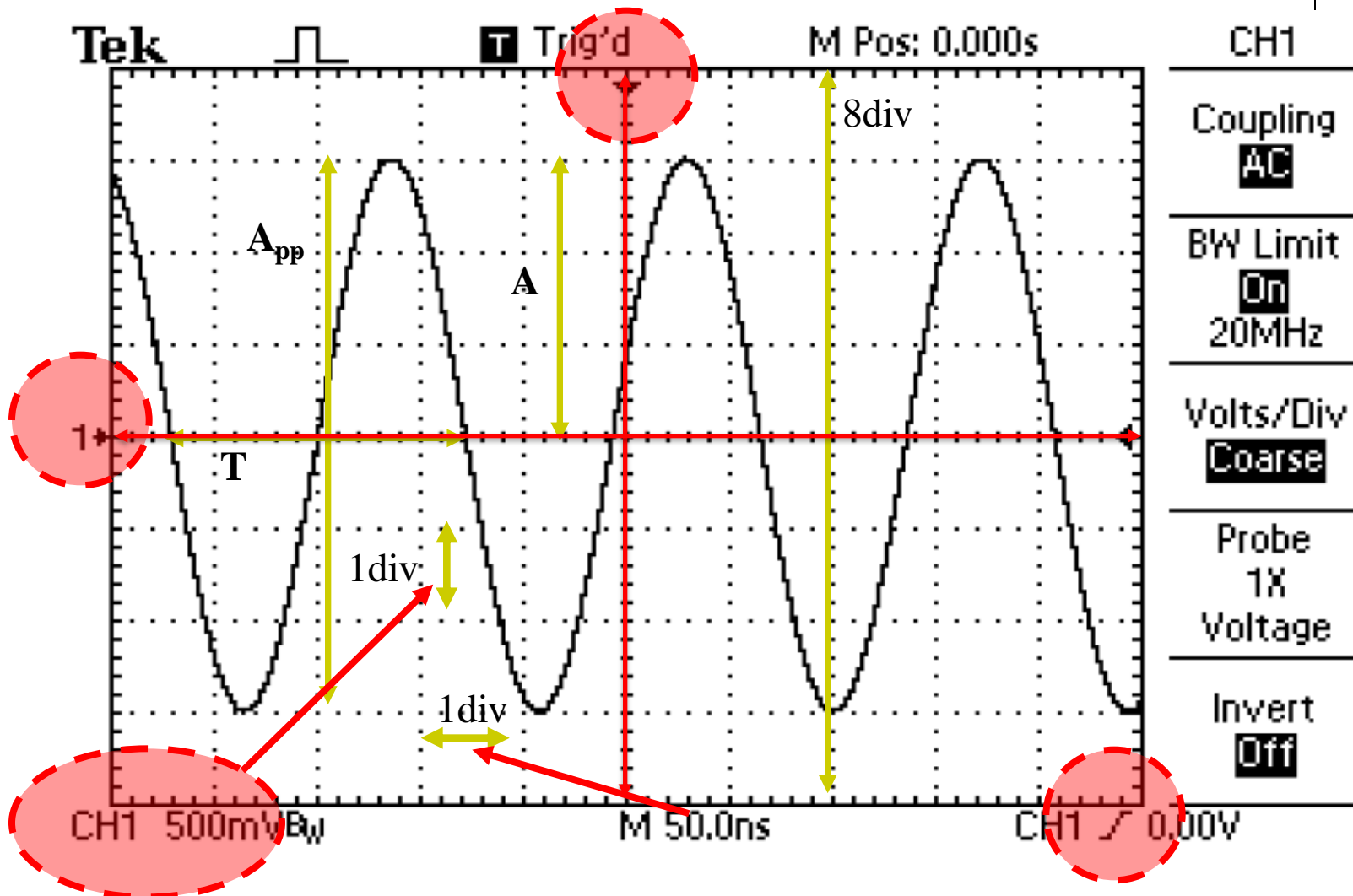
Fondamenti di misure e strumentazione elettronica

Carullo-Pisani-Vallan, CLUT-2006

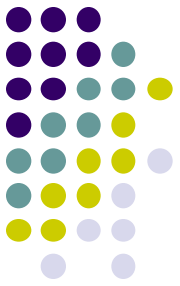
Online consultate: http://home.deib.polimi.it/svelto/didattica/materiale_didattico.html

Diamo un'occhiata all'immagine rappresentata in un DSO al cui ingresso è presente un generico segnale sinusoidale $s(t) = A \cdot \sin(\frac{2\pi}{T} t)$

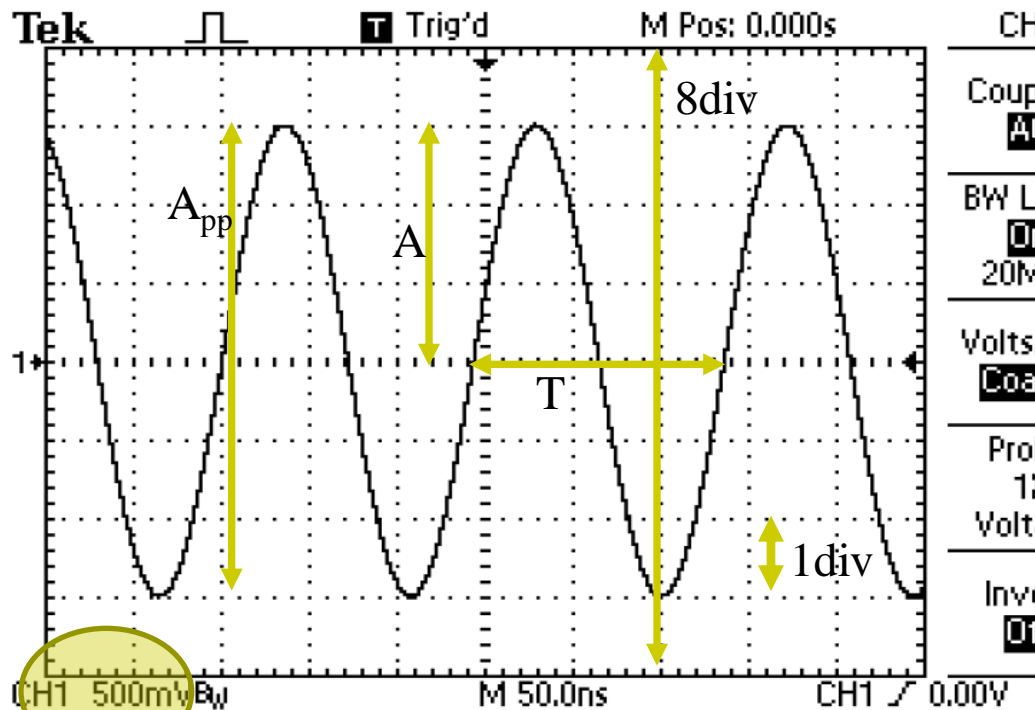




Acquisizione dati: digitalizzazione di segnali analogici



Risoluzione dell'ADC: in generale con convertitore ad 8 bit l'incertezza di quantizzazione è sufficientemente piccola per gli scopi di misura in un DSO



Segnale sinusoidale

$$s(t) = A \sin(2\pi/T \cdot t) ; f = 1/T$$

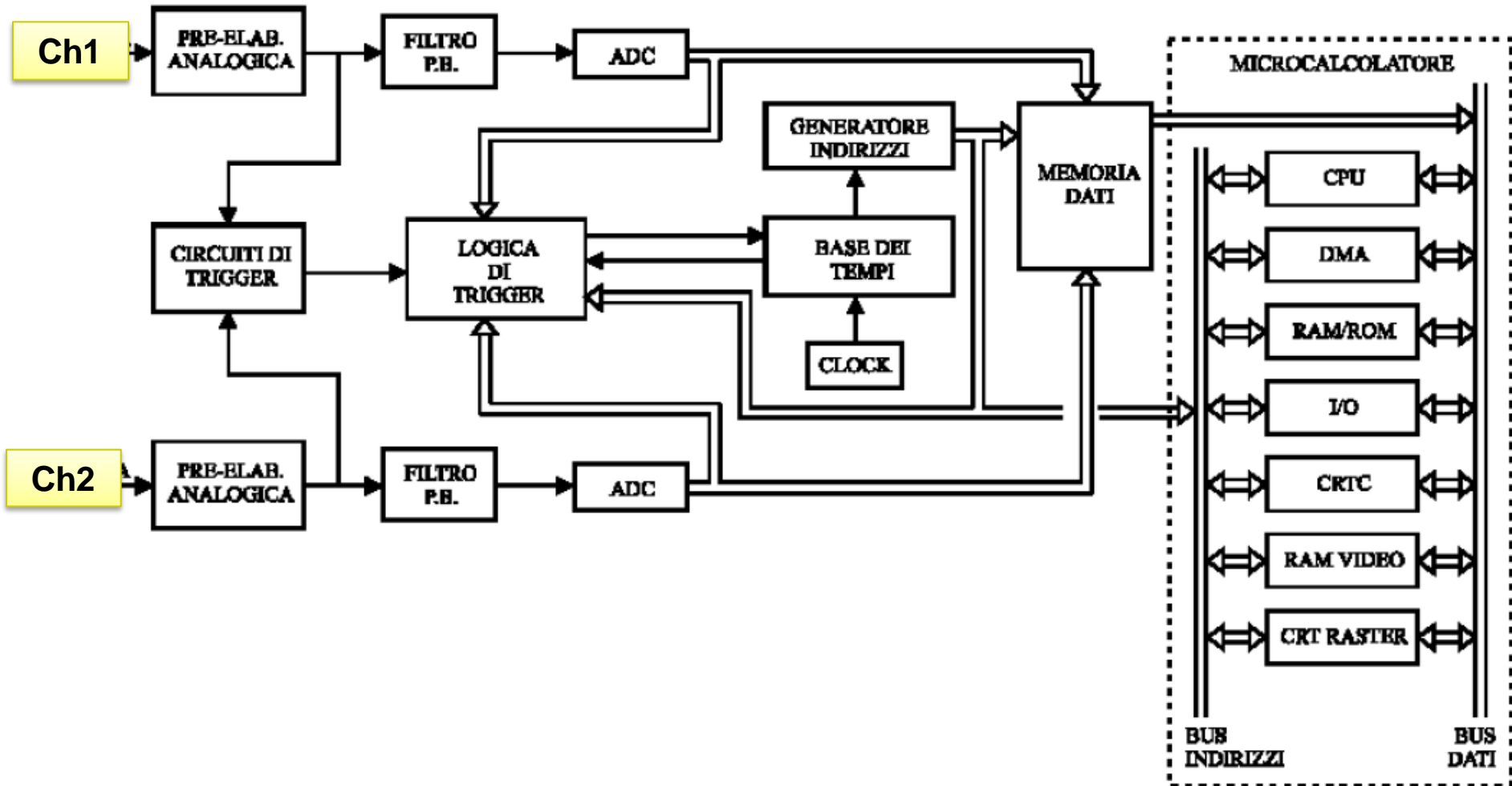
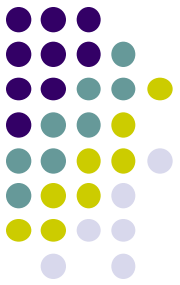
Sensibilità verticale = $S_v = 500\text{mV/div}$

$$\text{Ampiezza} = A = 3\text{div} \cdot S_v = 1.5\text{V}$$

Spessore traccia $\sim 1/20 \text{ div} = 0.05 \text{ div}$

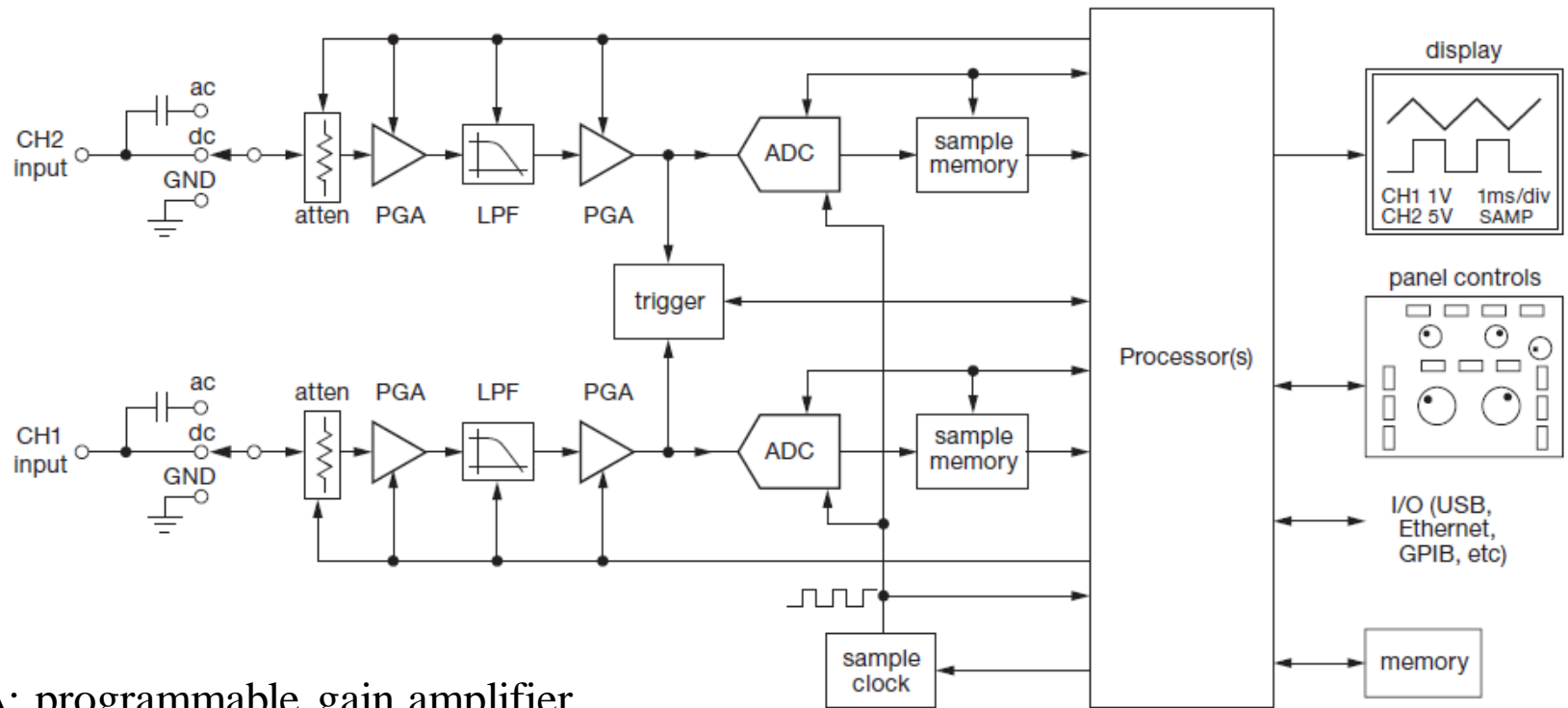
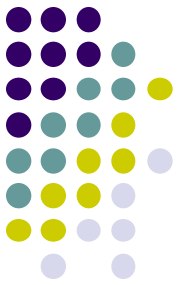
$$\text{LSB} = 8 \text{ div} : 2^8 \sim 0.03 \text{ div}$$

L'Oscilloscopio Digitale: schema di massima



Vedere in <http://home.dei.polimi.it/svelto/...>

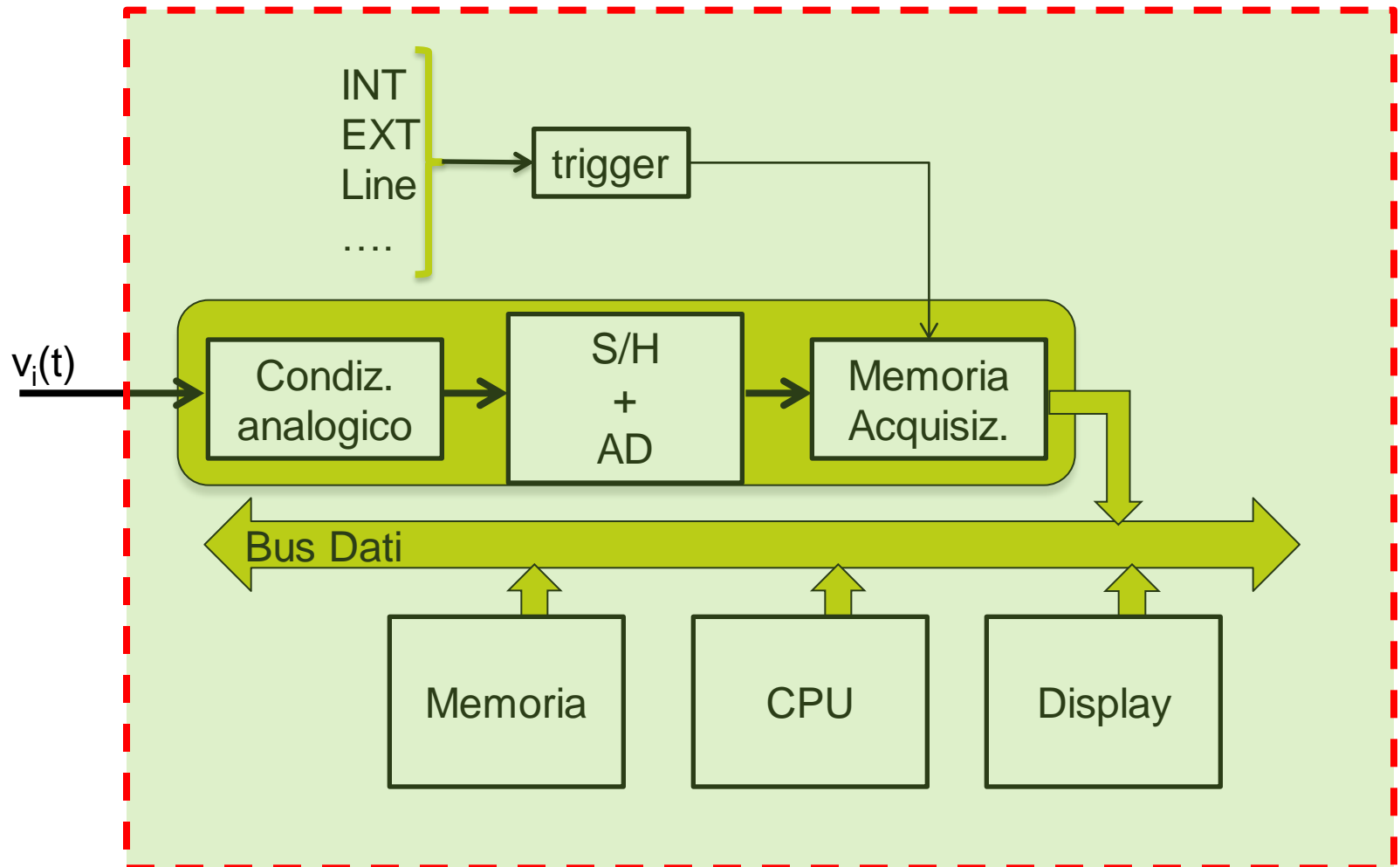
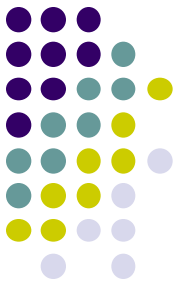
L'Oscilloscopio Digitale: schema di massima



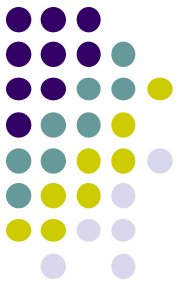
PGA: programmable gain amplifier

Vedere: P. Horowitz, W. Hill, *The art of electronics*, CUP, 2015

L'Oscilloscopio Digitale: schema di massima



L'Oscilloscopio Digitale: modalità di campionamento

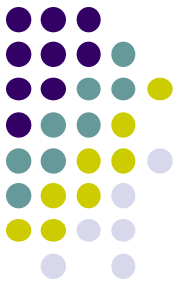


Tipicamente si hanno tre modalità di campionamento:

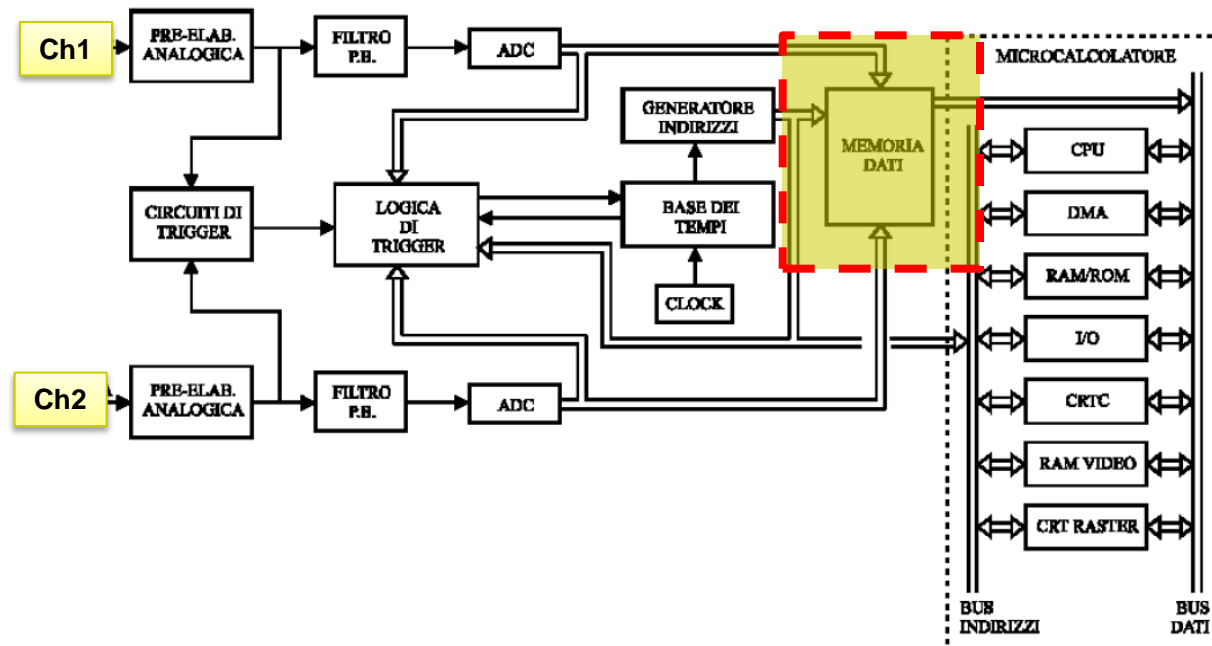
- ❑ In tempo reale (single shot)
- ❑ Campionamento sequenziale in tempo equivalente
- ❑ Campionamento casuale in tempo equivalente

La prima modalità è applicabile ad ogni segnale mentre le altre due solo a segnali periodici

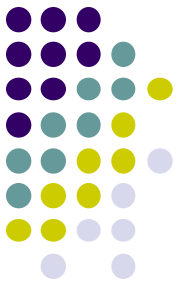
L'Oscilloscopio Digitale: campionamento in tempo reale



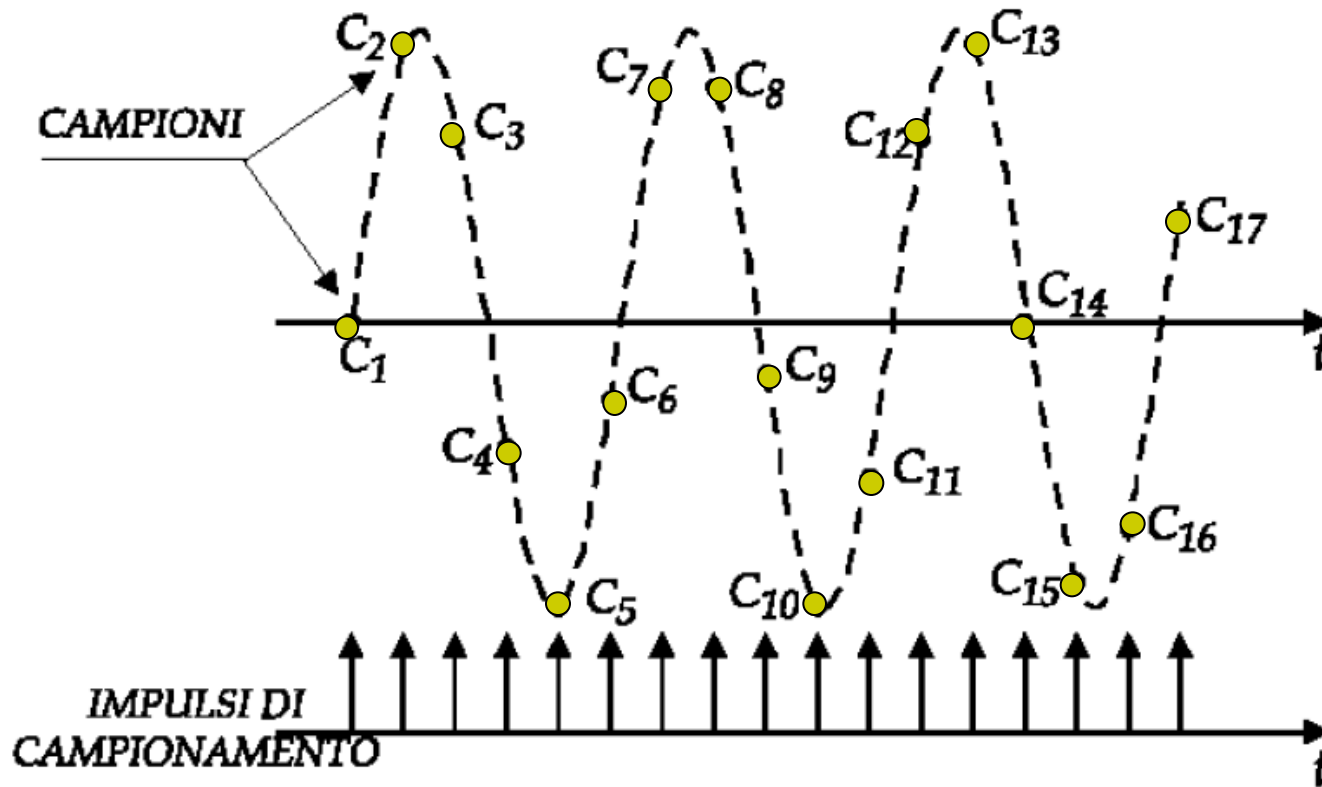
I campioni sono prelevati continuamente fino al completo riempimento della memoria di acquisizione (memoria dati) del DSO



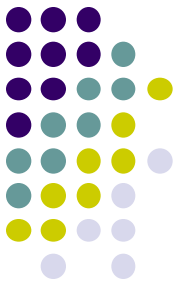
L'Oscilloscopio Digitale: campionamento in tempo reale



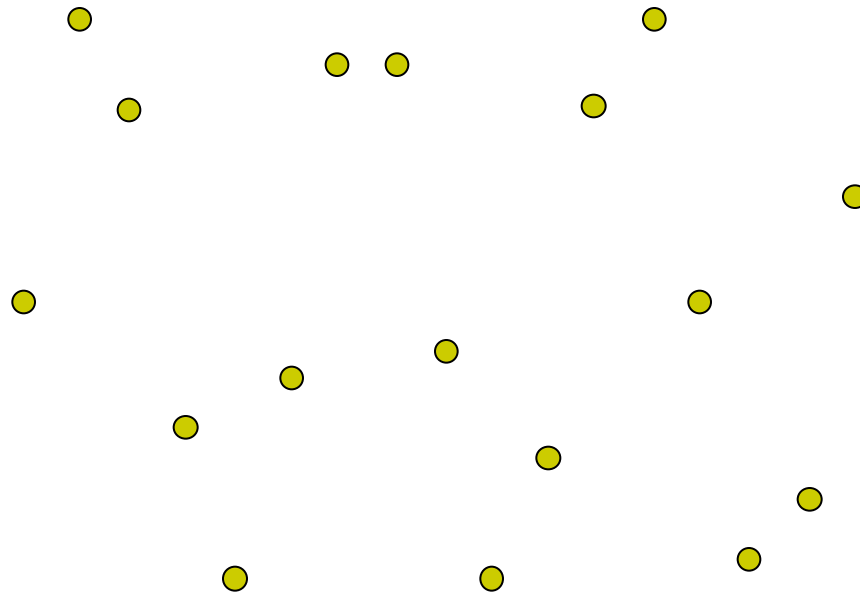
- Esempio: campionamento di una sinusoide (NB: 6 campioni ogni periodo)



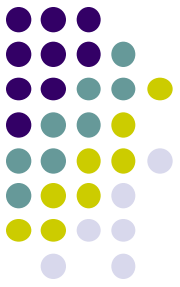
L'Oscilloscopio Digitale: campionamento in tempo reale



- Esempio: campionamento di una sinusoide
(NB: 6 campioni ogni periodo)

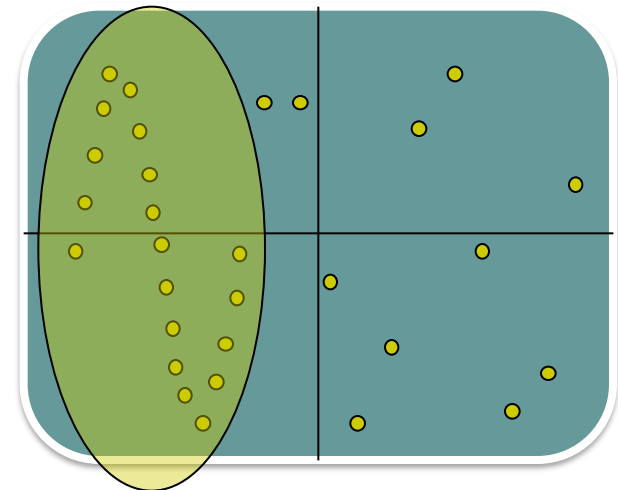
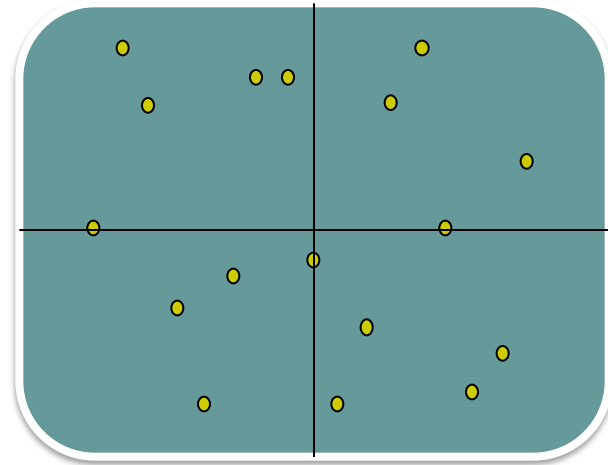


L'Oscilloscopio Digitale: campionamento in tempo reale



Risultato visivo:

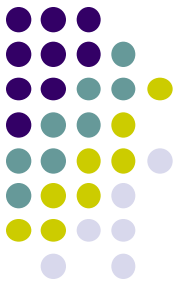
In generale risulta più adeguato effettuare un campionamento in modo tale da ottenere almeno 20-25 campioni ogni



L'Oscilloscopio Digitale: algoritmi interpolatori



- ❑ Negli oscilloscopi digitali esistono algoritmi interpolatori che permettono di avere una rappresentazione migliore del segnale
- ❑ Interpolatore lineare: con circa 10 punti la rappresentazione del segnale “è accettabile”
- ❑ Alcuni oscilloscopi utilizzano filtri ricostruttori (tipo $\sin(x)/x$) per mezzo dei quali con circa 3 punti si ha già una comprensibile rappresentazione del segnale



L'Oscilloscopio Digitale:

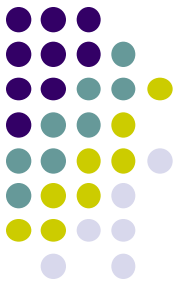
campionamento sequenziale in tempo equivalente

Il campionamento sequenziale in tempo equivalente è un “trucco” per poter campionare segnali periodici con frequenza di campionamento che non rispetta il criterio di Nyquist

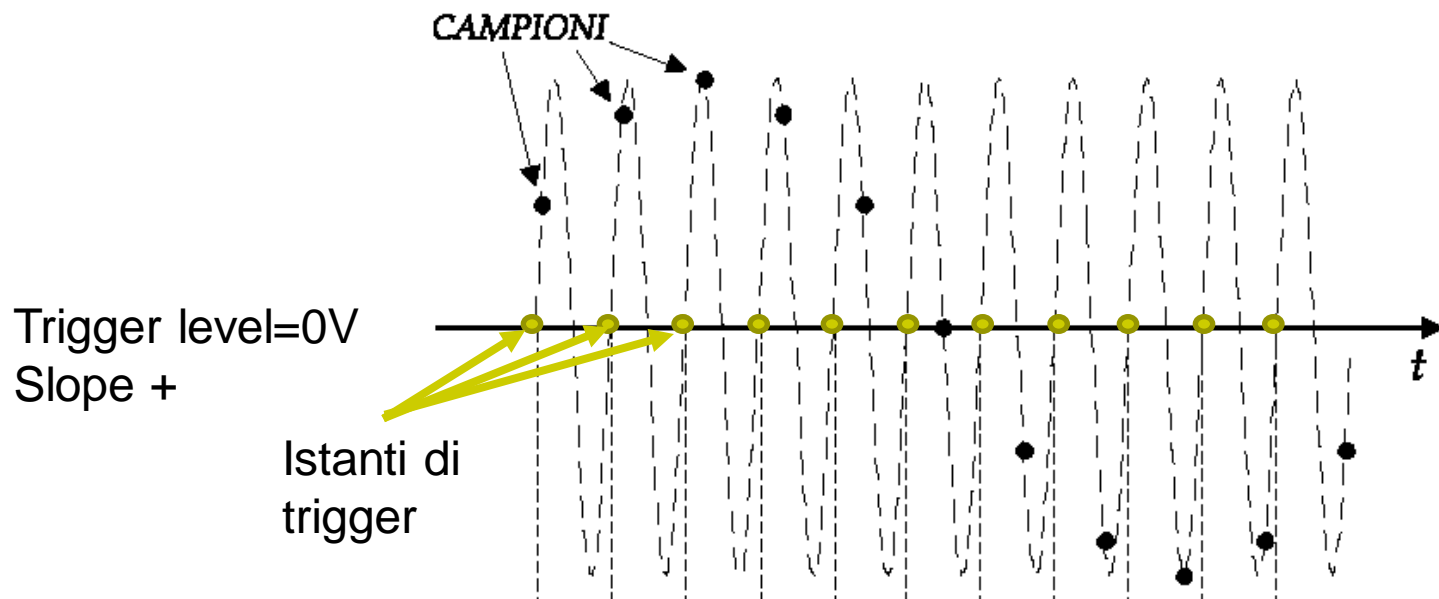
- Il primo passo consiste nell'individuare un istante di trigger univoco definendo il trigger level e lo slope
- Individuato l'istante di trigger, sincrono con il segnale, si acquisiscono campioni del segnale con un ritardo rispetto all'istante di trigger pari a τ , 2τ , 3τ , 4τ , ...

L'Oscilloscopio Digitale:

campionamento sequenziale in tempo equivalente

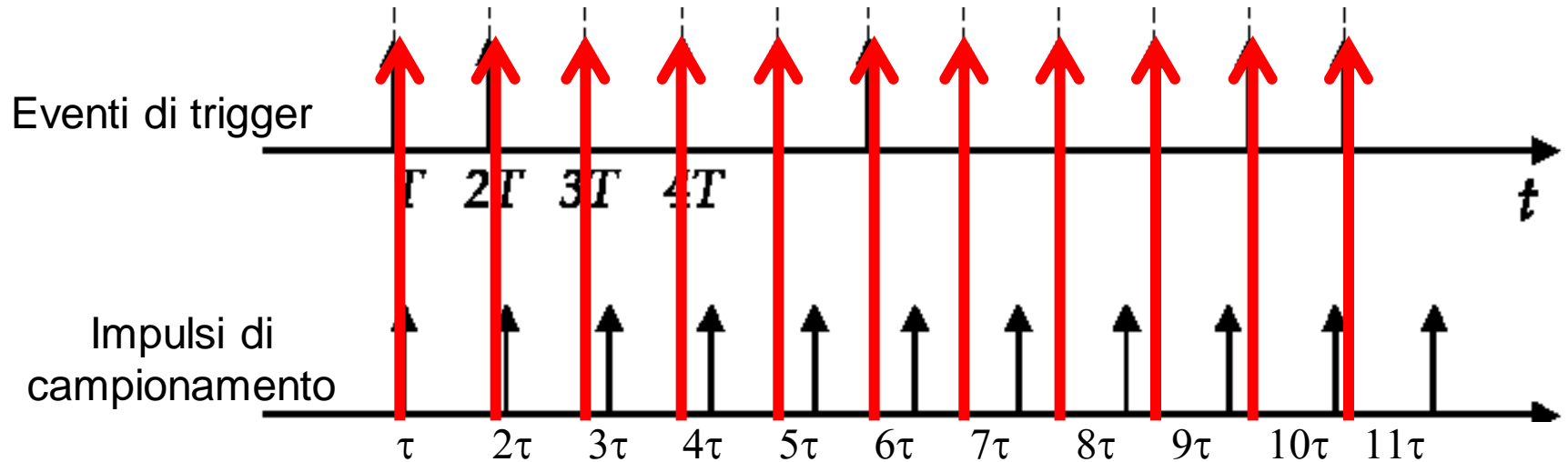
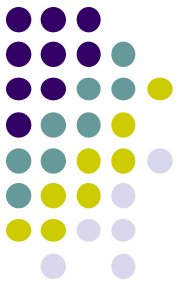


Gli istanti di campionamento avvengono dopo l'evento di trigger e sono ritardati da esso di τ , 2τ , 3τ , 4τ , 5τ , 6τ ...



L'Oscilloscopio Digitale:

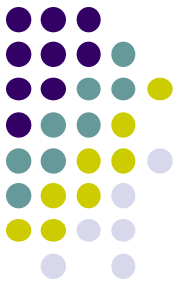
campionamento sequenziale in tempo equivalente



Sfruttando la periodicità T del segnale i campioni all'istante τ e $\tau+nT$ sono uguali

L'Oscilloscopio Digitale:

campionamento sequenziale in tempo equivalente



- L'istante in cui si campiona il segnale avviene in corrispondenza dell'evento di trigger ritardato di un intervallo di tempo τ , 2τ , 3τ , ...

- La periodicità del campionamento è pari a

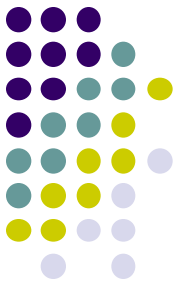
$$T_c = T + \tau$$

- È possibile anche “saltare” opportunamente nT prima di prelevare un nuovo campione ottenendo una periodicità del campionamento pari a $T_c = nT + \tau$ con evidenti vantaggi sulle specifiche di velocità del convertitore AD ottenendo una frequenza di campionamento pari a:

$$f_c = \frac{1}{nT + \tau}$$

L'Oscilloscopio Digitale:

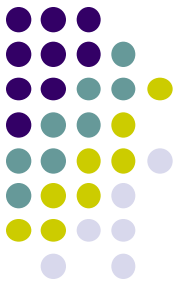
campionamento sequenziale in tempo equivalente



- Tanto minore è τ tanto maggiore risulta la frequenza di campionamento equivalente ottenuta
- Il limite inferiore di τ è legato alla risoluzione temporale con cui il DSO può gestire il ritardo fra l'evento di trigger e l'impulso di campionamento (in alcuni DSO di elevata qualità si ottengono anche risoluzioni di alcuni ps)

L'Oscilloscopio Digitale:

campionamento casuale in tempo equivalente

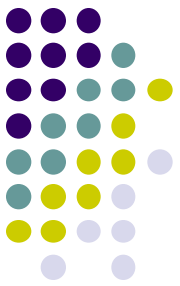


Il metodo del campionamento casuale in tempo equivalente prevede:

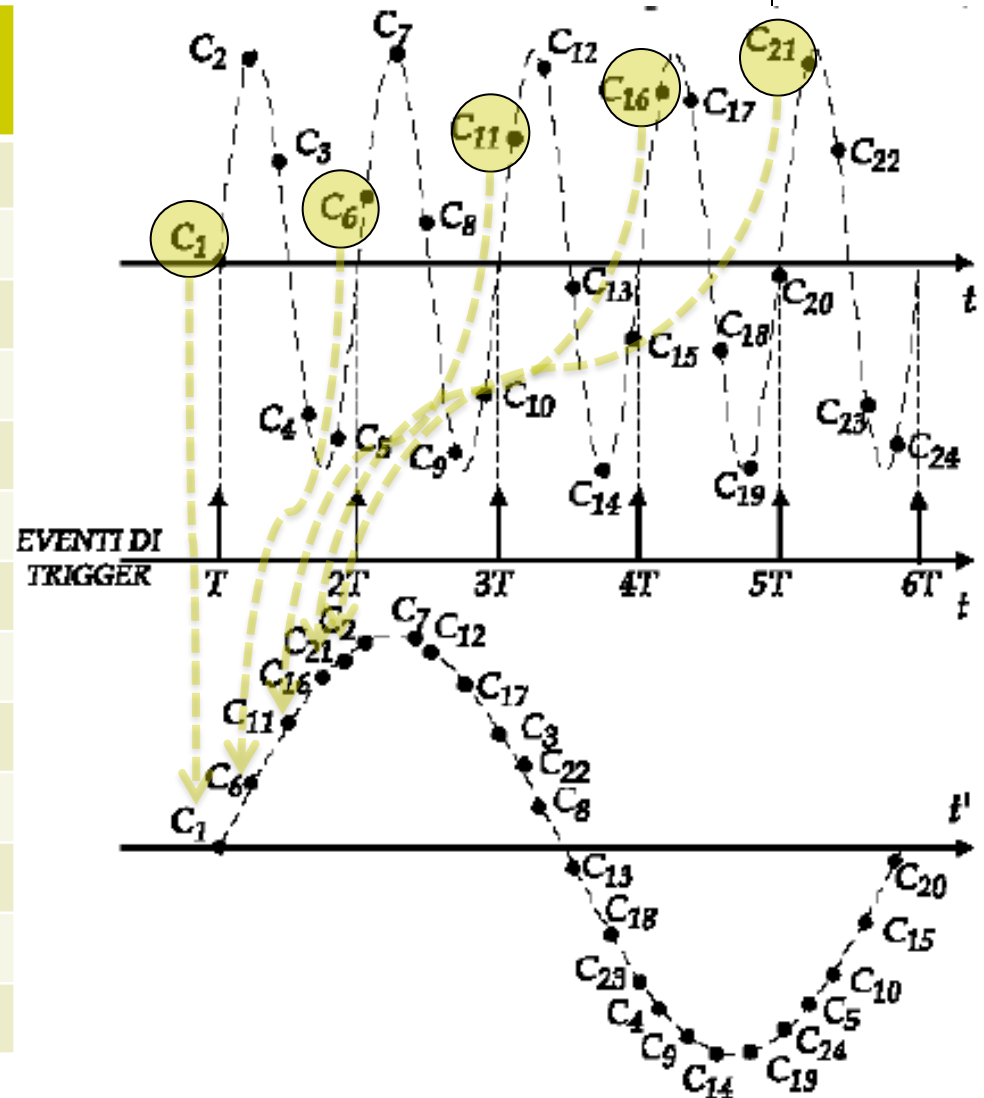
- ❑ L'acquisizione del campione in un istante assolutamente casuale rispetto l'evento di trigger
- ❑ Per ogni campione acquisito si misura l'intervallo di tempo Δt_i fra l'evento di trigger e l'istante di acquisizione del campione i -esimo C_i
- ❑ La rappresentazione sullo schermo avviene ricostruendo il segnale ordinando i campioni a partire dall'istante di trigger che segna l'origine della scala tempo del DSO

L'Oscilloscopio Digitale:

campionamento casuale in tempo equivalente

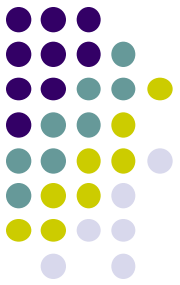


Campione	Δt_i /ns	Valore /mV
C ₁	0.0	0
C ₂	2.4	95
C ₃	3.7	50
C ₄	6.2	...
C ₅	8.0	...
C ₆	1.0 (dopo 2T)	...
C ₇	2.5 (dopo 2T)	...
C ₈	3.8 (dopo 2T)	...
C ₉	7.0 (dopo 2T)	...
...		
C ₁₆	2.2 (dopo 4T)
...		
C ₂₁	2.3 (dopo 5T)	...



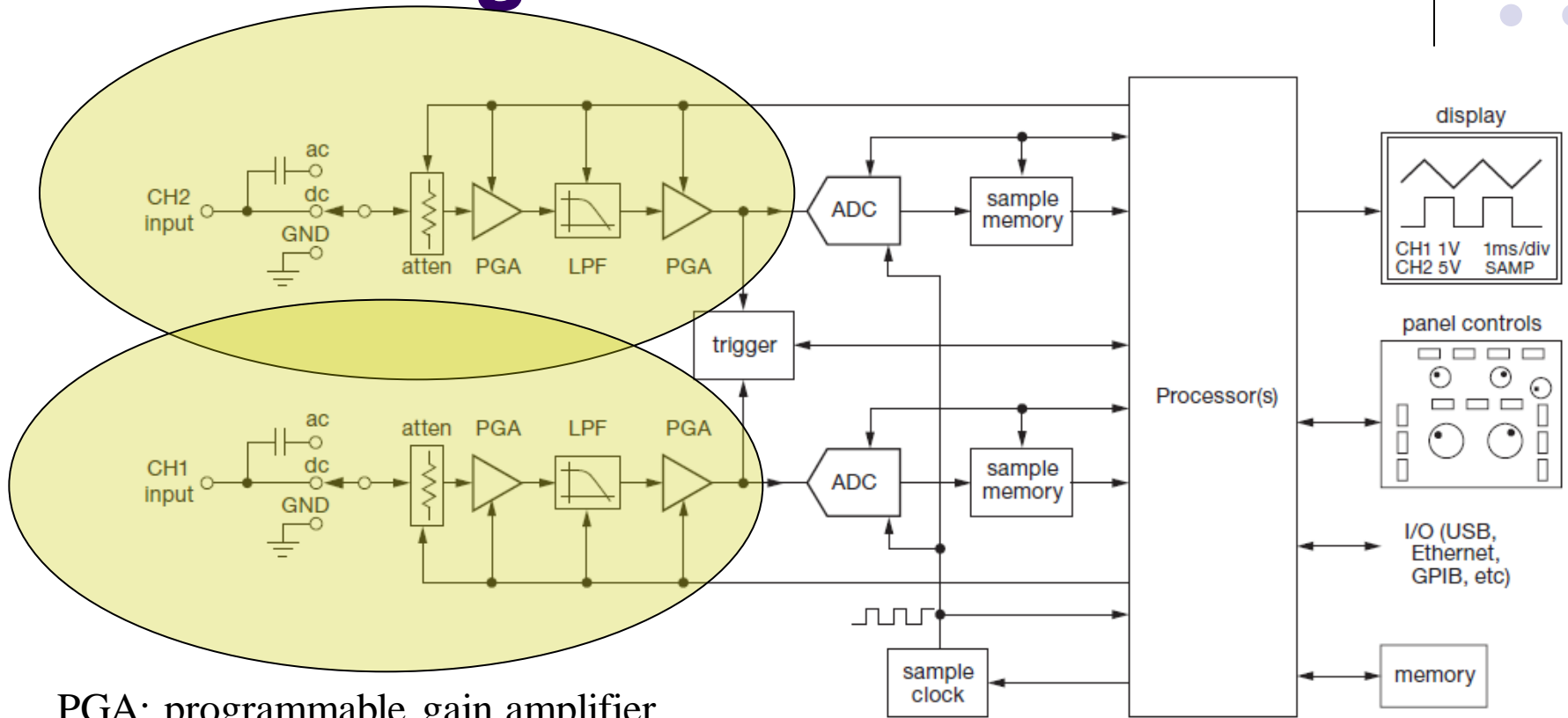
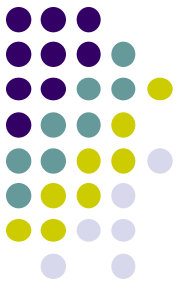
L'Oscilloscopio Digitale:

campionamento casuale in tempo equivalente



- Una unità di elaborazione avrà il compito del riordino temporale e assegnazione della posizione sullo schermo del campione C_i
- La risoluzione del tempo di misura dell'intervallo di tempo Δt_i è di alcune decine di ps

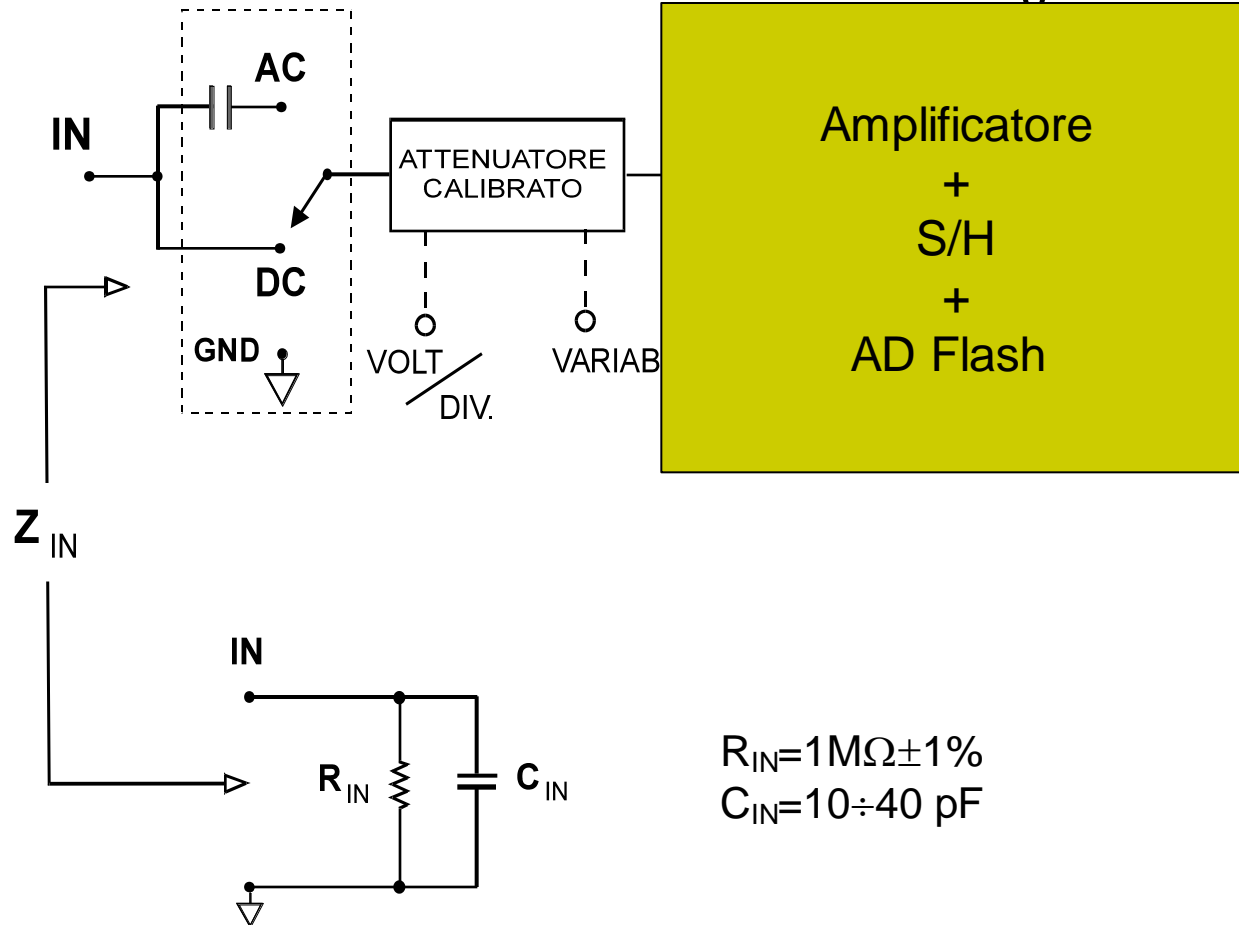
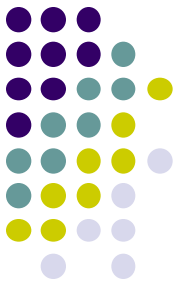
L'Oscilloscopio Digitale: Canale ingresso



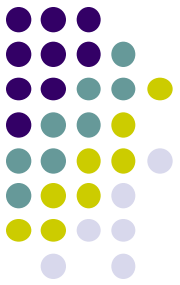
PGA: programmable gain amplifier

Vedere: P. Horowitz, W. Hill, *The art of electronics*, CUP, 2015

L'Oscilloscopio Digitale: Canale ingresso



L' Oscilloscopio digitale: la sonda ed il suo utilizzo

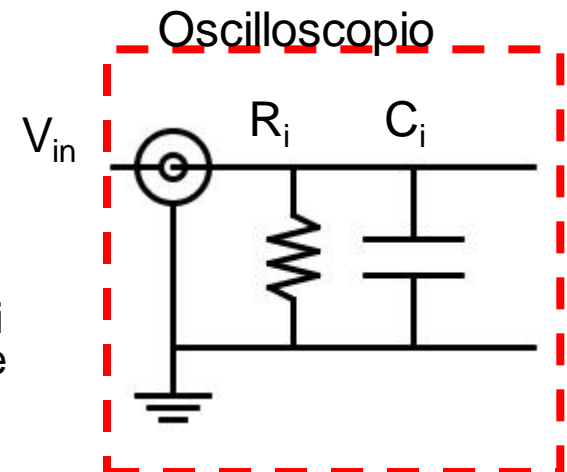


Il circuito di ingresso di un oscilloscopio presenta una impedenza di ingresso costituita da:

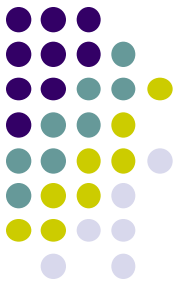
- Una resistenza di ingresso di $1\text{M}\Omega$
- Una capacità di qualche decina di pF

Inoltre:

- La resistenza di ingresso ha un valore standard di $1\text{M}\Omega$ (a volte, per particolari esigenze, può essere impostabile a 50Ω)
- La capacità di ingresso, in parallelo alla R_i , varia da pochi pF ad alcune decine di pF
- A valle del circuito di ingresso è presente un attenuatore variabile e uno stadio amplificatore



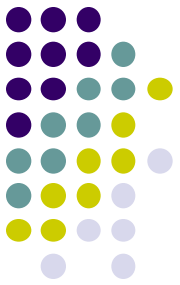
L' Oscilloscopio digitale: la sonda ed il suo utilizzo



Teorema di Thevenin:

- ❑ In generale un qualunque circuito lineare, per quanto complesso esso sia, può essere ricondotto ad un circuito equivalente costituito da un generatore equivalente V_g ed una resistenza equivalente R_g
- ❑ Una volta scelti i nodi A e B a capo dei quali misurare la tensione di interesse, è possibile ricondurre il circuito ad un equivalente di Thevenin e rappresentarlo con due parametri elettrici rappresentativi: V_g e R_g

L' Oscilloscopio digitale: la sonda ed il suo utilizzo

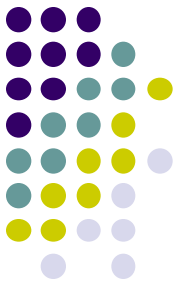


Cosa succede se colleghiamo due nodi A e B del nostro circuito all'ingresso dell'oscilloscopio?

- ❑ Il nodo collegato alla parte esterna del connettore BNC dell'oscilloscopio viene collegato al potenziale di terra (0V) !!! PERICOLO PER IL CIRCUITO !!!
- ❑ Nell'ipotesi che il collegamento con il potenziale di terra non danneggi o modifichi il funzionamento del circuito allora dobbiamo domandarci:

ABBIAMO DEI LIMITI DI BANDA?
CHI LIMITA LA BANDA DEL SEGNALE?

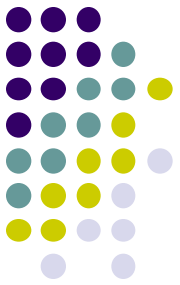
L' Oscilloscopio digitale: la sonda ed il suo utilizzo



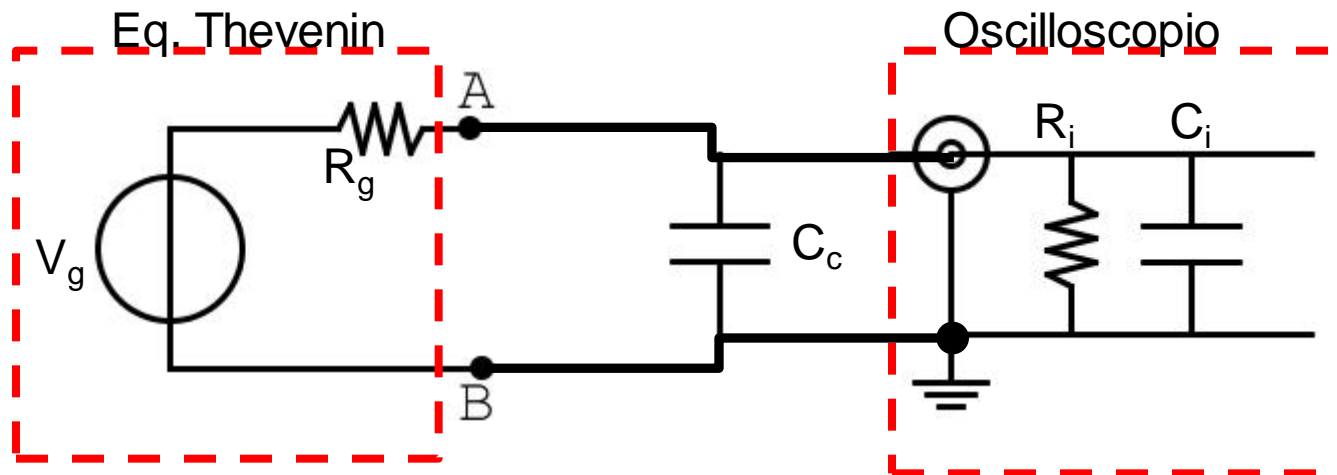
- ❑ In effetti il collegamento tra circuito e DSO potrebbe introdurre una limitazione di banda che non mi permetta di misurare correttamente il segnale V_g dell' equivalente di Thevenin
- ❑ Il collegamento tra DSO e il nostro circuito avviene sempre per mezzo di cavi coassiali
- ❑ I cavi coassiali hanno una capacità di circa $80 \div 100$ pF per ogni metro di cavo



L' Oscilloscopio digitale: la sonda ed il suo utilizzo

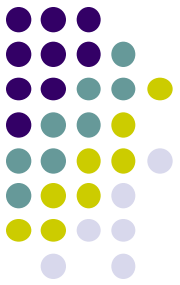


- Il circuito da studiare è dunque il seguente



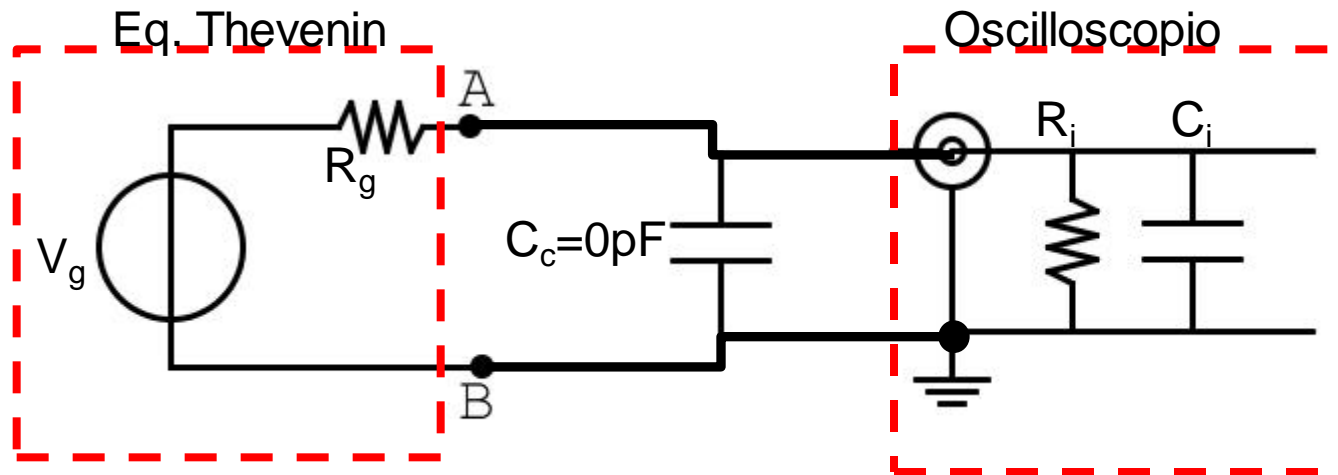
- A valle del circuito di ingresso del DSO (costituito dal parallelo di R_i e C_i) ipotizziamo che non ci siano limitazioni di banda dovute all'attenuatore variabile e all'amplificatore

L' Oscilloscopio digitale: la sonda ed il suo utilizzo

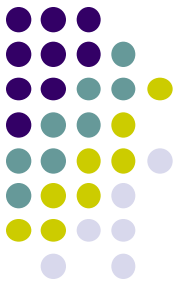


Ipotesi semplificativa iniziale

- il cavo coassiale non introduce nessuna capacità aggiuntiva in parallelo al circuito di ingresso del DSO quindi $C_c = 0$ pF



L' Oscilloscopio digitale: la sonda ed il suo utilizzo

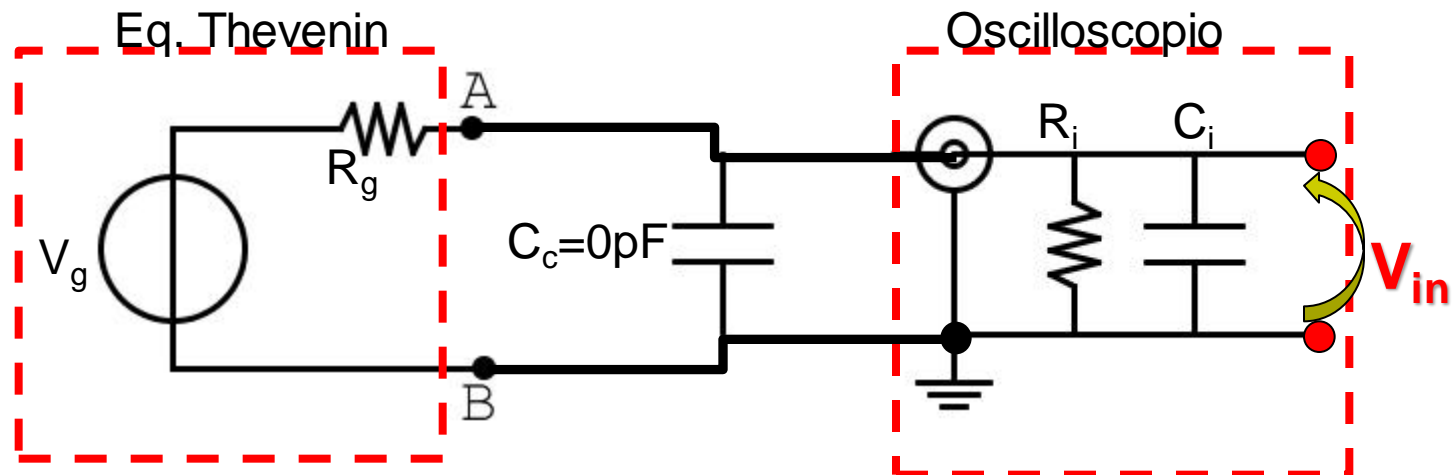


Calcolo della funzione di trasferimento $\left| \frac{V_{in}}{V_g} \right|$:

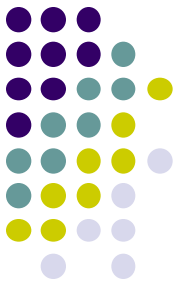
$$\left| \frac{V_{in}}{V_g} \right| = \frac{Z_i}{Z_i + R_g} \text{ dove } Z_i = R_i \parallel \frac{1}{sC_i} = \frac{R_i}{1 + sR_iC_i}$$

Z_i è l'impedenza di ingresso del DSO

da cui: $\left| \frac{V_{in}}{V_g} \right| = \frac{R_i}{R_i + R_g} \cdot \frac{1}{1 + s(R_i \parallel R_g)C_i}$ se $R_i \gg R_g$ allora $\left| \frac{V_{in}}{V_g} \right| = \frac{1}{1 + sR_gC_i}$



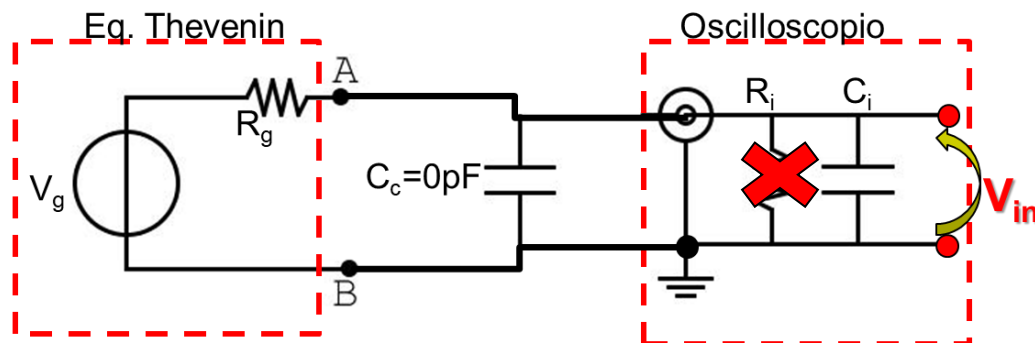
L' Oscilloscopio digitale: la sonda ed il suo utilizzo



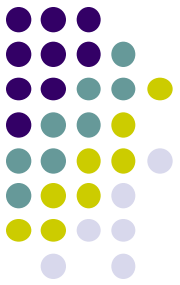
La frequenza di taglio del filtro passa basso corrispondente vale:

$$f_p = \frac{1}{2\pi R_p C_i} \text{ dove } R_p = R_i \parallel R_g = \frac{R_g R_i}{R_g + R_i}$$

- Se $R_i \gg R_g$ allora $R_p \approx R_g$ e $\left| \frac{V_{in}}{V_g} \right| = \frac{1}{1 + s R_g C_i}$ e dunque R_i non compare nell'equazione della frequenza di taglio
- Esempio, prendiamo $C_i = 20\text{pF}$ per determinare la frequenza del polo
 - Con $R_g = 50\Omega \rightarrow f_p = 160\text{ MHz}$
 - Con $R_g = 600\Omega \rightarrow f_p = 13\text{ MHz}$

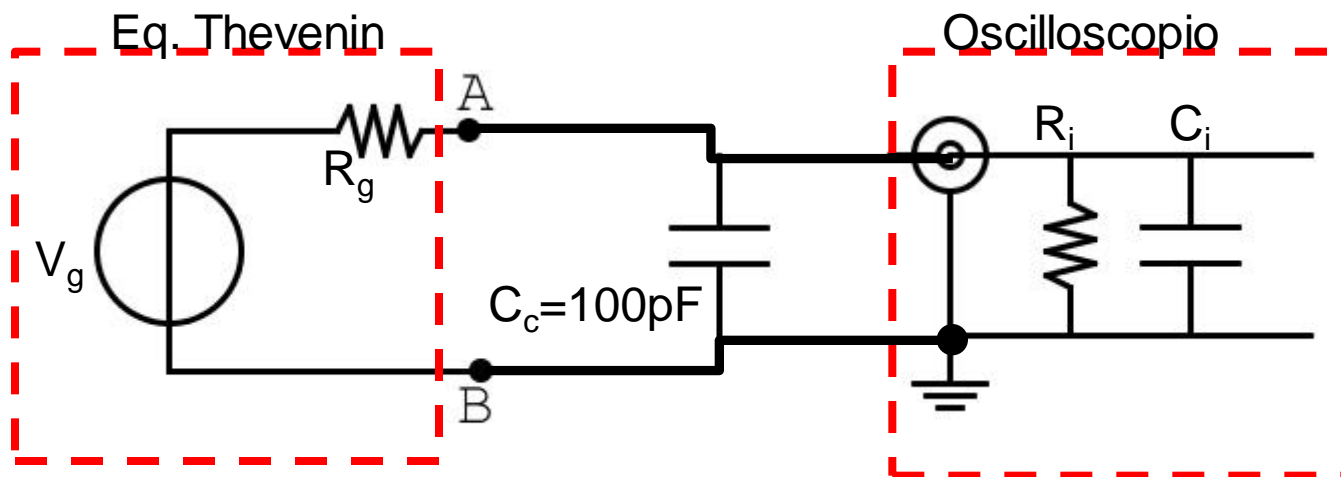


L' Oscilloscopio digitale: la sonda ed il suo utilizzo

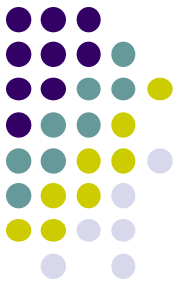


Tuttavia

- il cavo di collegamento utilizzato è tipicamente un coassiale con capacità, per unità di lunghezza, pari a 80-100pF/m
- il circuito equivalente presenterà una frequenza di taglio che sarà ancora più bassa a causa di C_c



L' Oscilloscopio digitale: la sonda ed il suo utilizzo

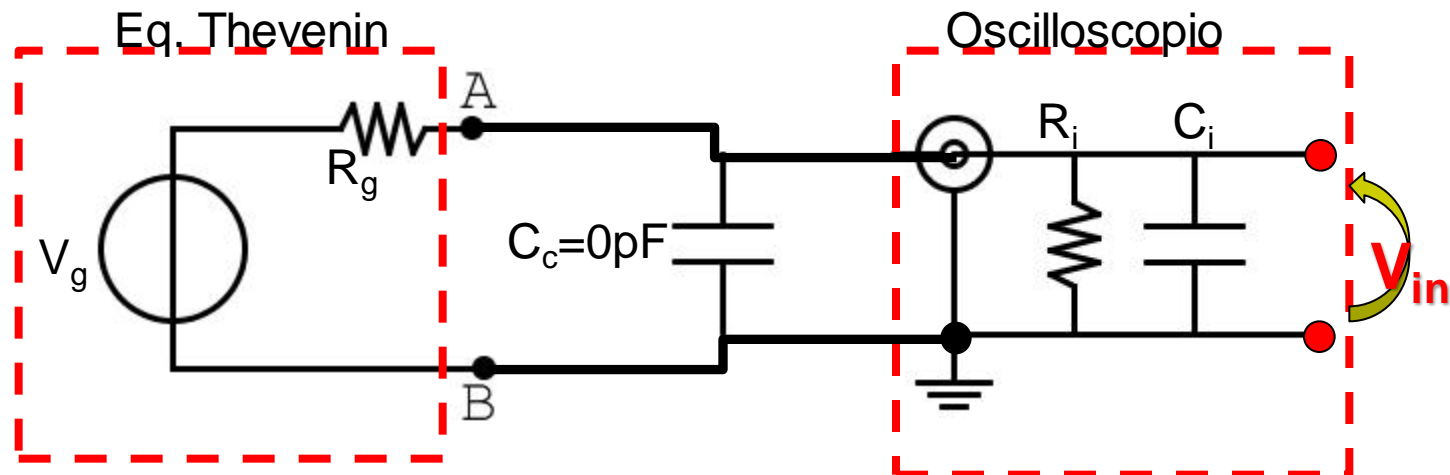


Calcolo della funzione di trasferimento $\left| \frac{V_{in}}{V_g} \right|$:

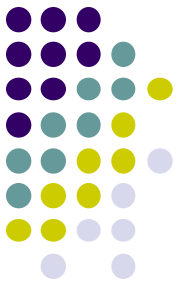
$$\left| \frac{V_{in}}{V_g} \right| = \frac{Z_i}{Z_i + R_g} \text{ con } Z_i = R_i \parallel \frac{1}{sC_i} = \frac{R_i}{1 + sR_iC_{TOT}} \text{ con } C_{TOT} = C_c + C_i$$

da cui:

$$\left| \frac{V_{in}}{V_g} \right| = \frac{R_i}{R_i + R_g} \cdot \frac{1}{1 + s(R_i \parallel R_g)C_{TOT}} = \frac{R_i}{R_i + R_g} \cdot \frac{1}{1 + s(R_i \parallel R_g)(C_c + C_i)}$$



L'Oscilloscopio digitale: la sonda ed il suo utilizzo

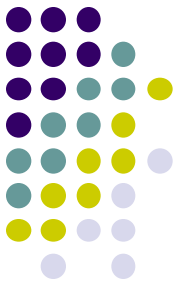


In conclusione:

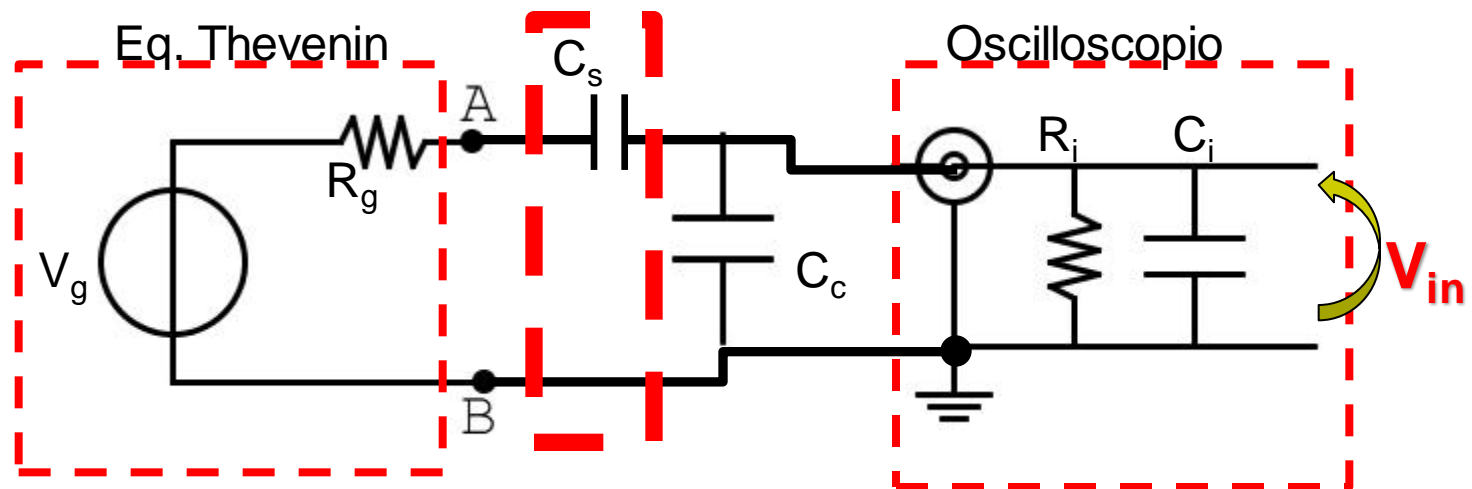
- il collegamento con uno strumento per mezzo di un cavo limita la banda a causa soprattutto della capacità stessa del cavo
- La riduzione di banda dovuta al parallelo di R_i e R_g è in realtà dovuta solo ed esclusivamente a R_g se $R_g \ll R_i$

Per ridurre la capacità totale ($C_i + C_c$), che rappresenta la principale causa di limitazione di banda, come possiamo fare?

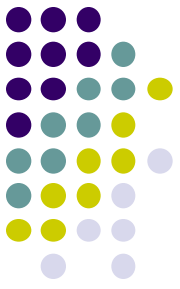
L'Oscilloscopio digitale: la sonda ed il suo utilizzo



Per ridurre la capacità totale vista fra i nodi A e B inserisco un condensatore $C_s \ll (C_c + C_i)$



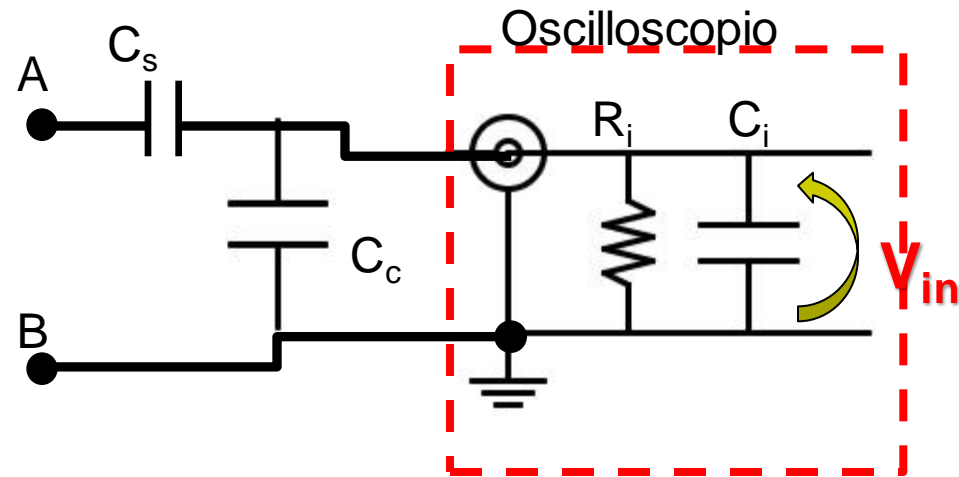
L'Oscilloscopio digitale: la sonda ed il suo utilizzo



Ai capi dei nodi A-B quale impedenza ottengo?

□ R_i la trascuro perché andrà in parallelo ad R_g

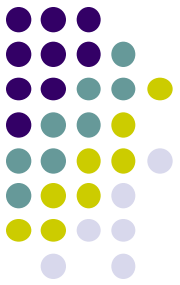
□
$$C_{eq} = \frac{C_s(C_c + C_i)}{C_s + C_c + C_i} \ll C_c + C_i$$



Inserendo C_s ottengo un aumento della banda del circuito grazie alla riduzione della capacità equivalente vista ai nodi A e B!!!

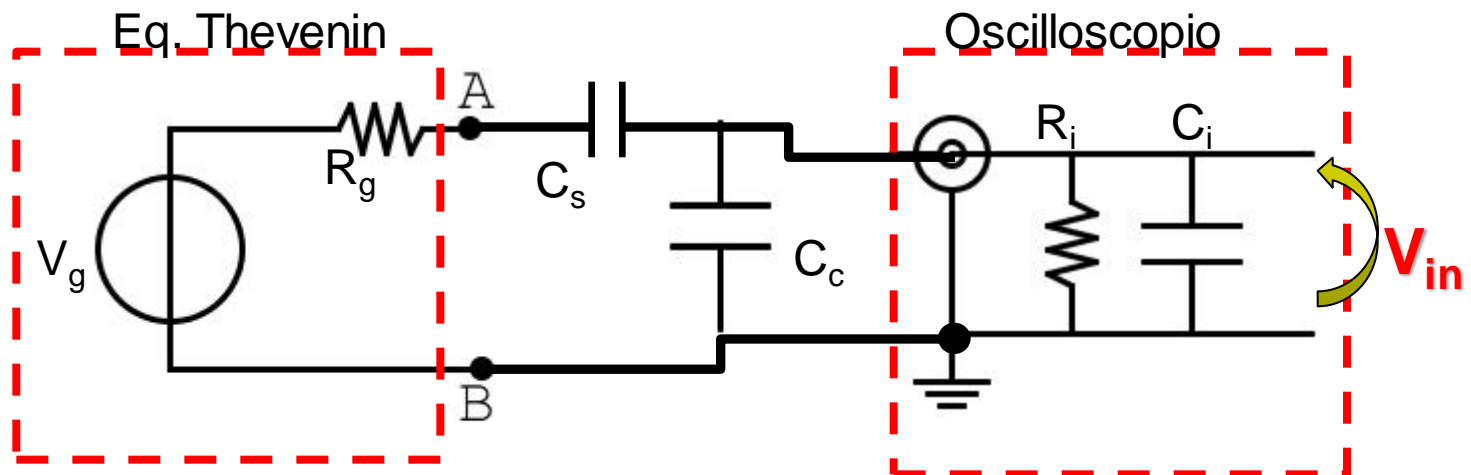
Esempio: se $C_c + C_i = 90\text{pF}$
Ponendo $C_s = 10\text{pF} \rightarrow C_{eq} = 9\text{pF}$

L'Oscilloscopio digitale: la sonda ed il suo utilizzo

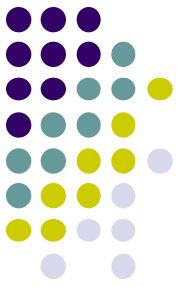


Attenzione!!! Aggiungendo un condensatore in serie il circuito è accoppiato in AC!

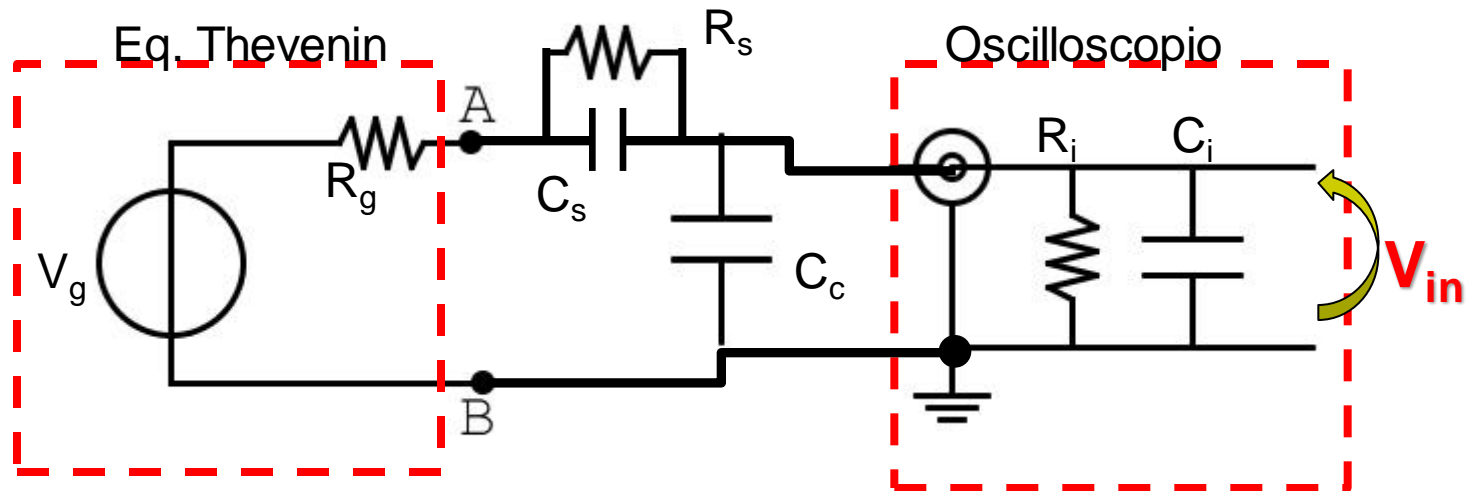
L'eventuale tensione continua dell'eq. di Th. non è misurabile !



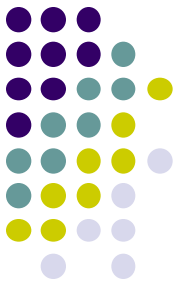
L'Oscilloscopio digitale: la sonda ed il suo utilizzo



Soluzione: inserisco in parallelo a C_s una resistenza R_s formando un partitore resistivo-capacitivo



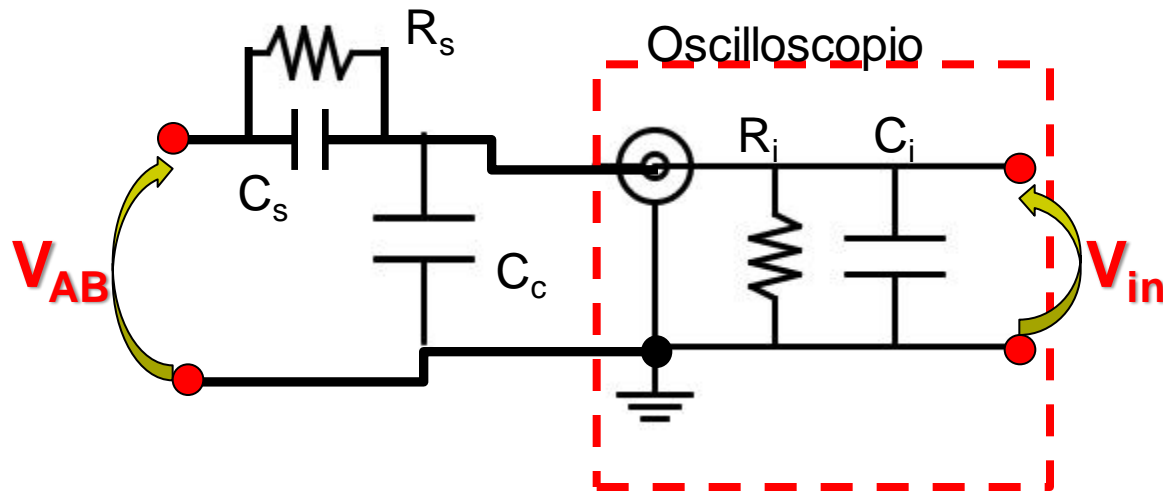
L'Oscilloscopio digitale: la sonda ed il suo utilizzo



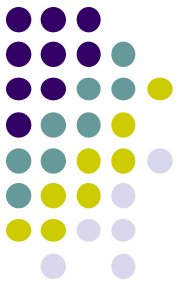
Prendiamo in considerazione la fdt $\left| \frac{V_{in}}{V_{AB}} \right|$

$$\text{Polo in } f_p = \frac{1}{2\pi(R_S \parallel R_i)(C_S + C_C + C_i)}$$

$$\text{Zero in } f_z = \frac{1}{2\pi R_S C_S}$$

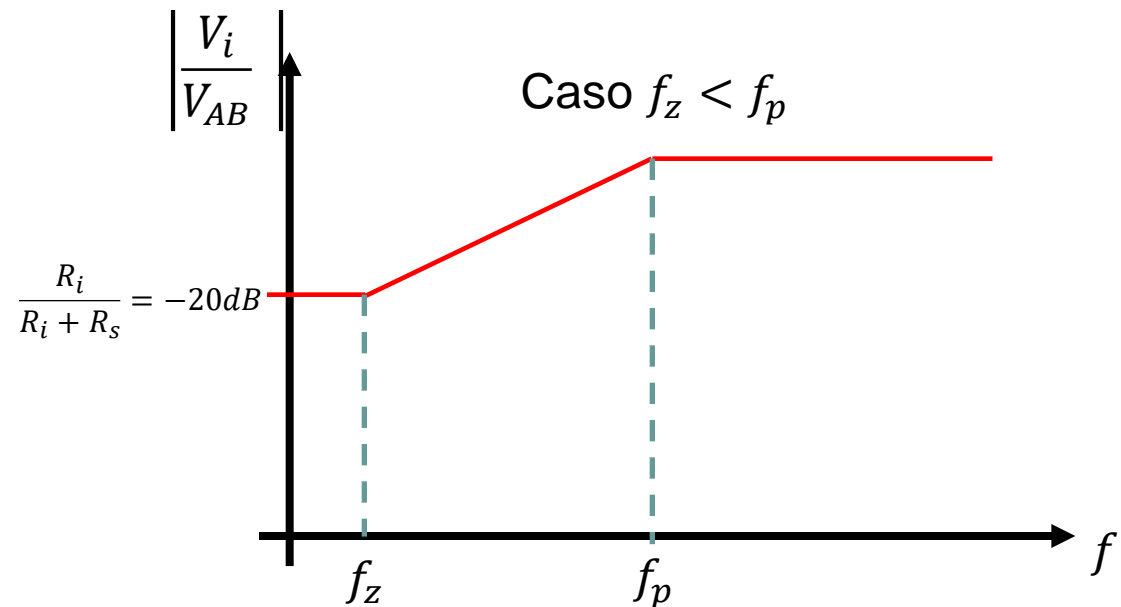


L'Oscilloscopio digitale: la sonda ed il suo utilizzo



Dal momento che ho un polo ed uno zero allora posso avere 3 possibili casi:

- 1) $f_z < f_p$
- 2) $f_z > f_p$
- 3) $f_z = f_p$

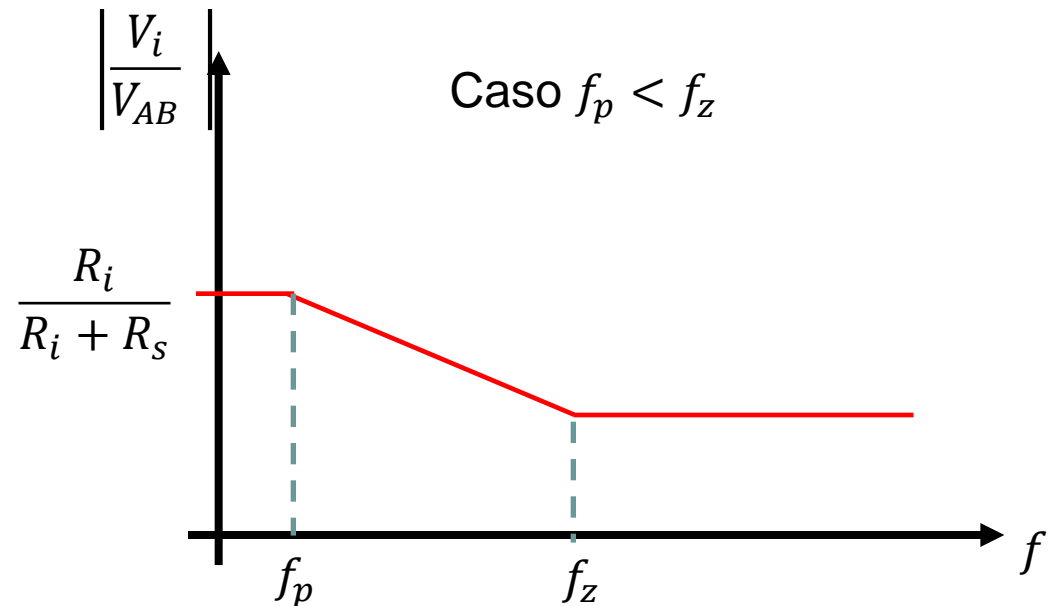


L'Oscilloscopio digitale: la sonda ed il suo utilizzo

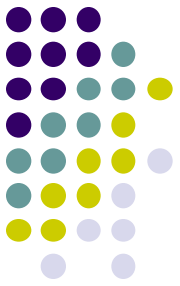


Dal momento che ho un polo ed uno zero allora posso avere 3 possibili casi

- 1) $f_z < f_p$
- 2) $f_z > f_p$
- 3) $f_z = f_p$

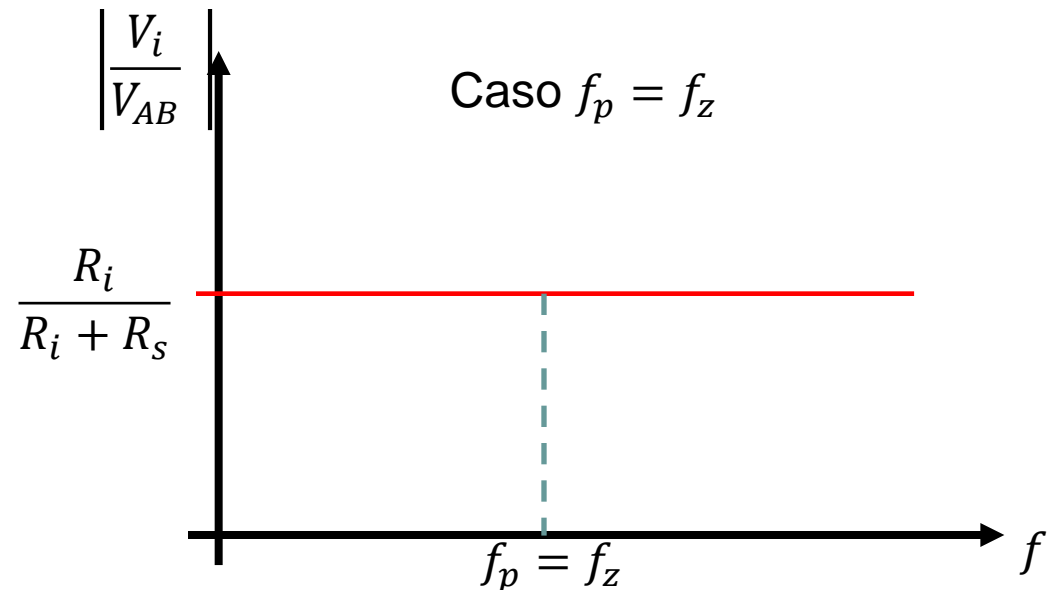


L'Oscilloscopio digitale: la sonda ed il suo utilizzo

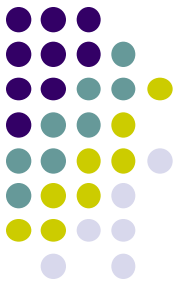


Dal momento che ho un polo ed uno zero allora posso avere 3 possibili casi

- 1) $f_z < f_p$
- 2) $f_z > f_p$
- 3) $f_z = f_p$



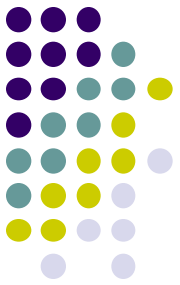
L'Oscilloscopio digitale: la sonda ed il suo utilizzo



$$f_p = \frac{1}{2\pi(R_s \parallel R_i)(C_s + C_c + C_i)} = f_z = \frac{1}{2\pi R_s C_s}$$

- $R_s C_s = R_i (C_c + C_i)$ che è chiamata **condizione di compensazione della sonda**
- Se la sonda è compensata $\left| \frac{V_{in}}{V_{AB}} \right| = \frac{R_i}{R_i + R_s} \quad \forall f$
- Attenzione: ho allargato la banda del circuito con ingresso V_{in} ed uscita V_{AB} **non** del circuito con ingresso V_g ed uscita V_{AB}

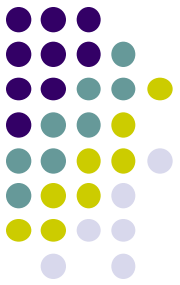
L'Oscilloscopio digitale: la sonda ed il suo utilizzo



Scelte di progetto convenzionali nei DSO:

- il punto di partenza è: devo avere $C_s \ll C_c + C_i$
 - si sceglie $C_s = \frac{1}{9} (C_c + C_i)$
 - di conseguenza $R_s = 9 R_i$
 - $\left| \frac{V_{in}}{V_{AB}} \right| = \frac{R_i}{R_i + R_s} = \frac{1}{10}$
- le sonde compensate attenuano di un fattore 10

L'Oscilloscopio digitale: la sonda ed il suo utilizzo



Scelte di progetto **convenzionali**:

□ il punto di partenza è: devo avere $C_s \ll C_c + C_i$

□ si è scelto $C_s = \frac{1}{9} (C_c + C_i)$

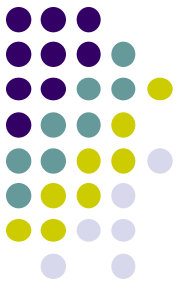
□ di conseguenza $R_s = 9 R_i$

□ $\left| \frac{V_{in}}{V_{AB}} \right| = \frac{R_i}{R_i + R_s} = \frac{1}{10}$

**Non dipende
dalla
frequenza
!!!**

□ Le sonde compensate attenuano di un fattore 10!!!

L'Oscilloscopio digitale: la sonda ed il suo utilizzo



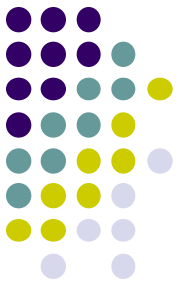
Quando il partitore risulta compensato

$$\left| \frac{V_{in}}{V_{AB}} \right| = \frac{R_i}{R_i + R_s} = \frac{1}{10}$$

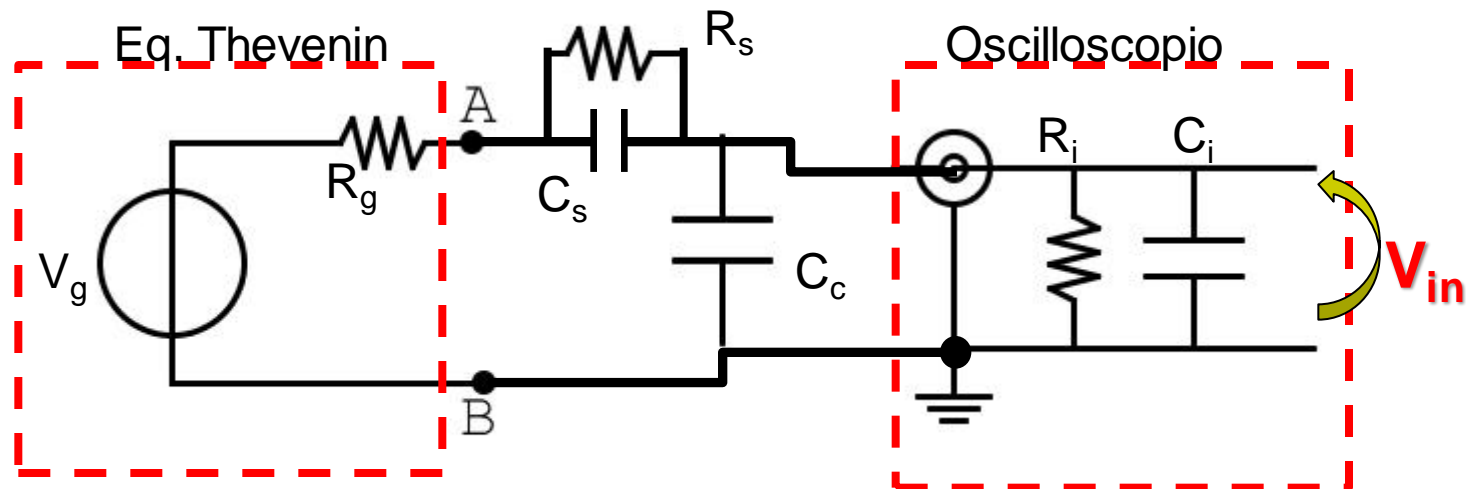
NON DIPENDE DALLA FREQUENZA !!!

Ciò non vuol dire che la banda del sistema diventa infinita perché abbiamo calcolato $\left| \frac{V_{in}}{V_{AB}} \right|$ e non $\left| \frac{V_{in}}{V_g} \right|$

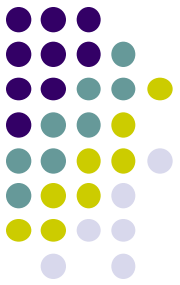
L'Oscilloscopio digitale: la sonda ed il suo utilizzo



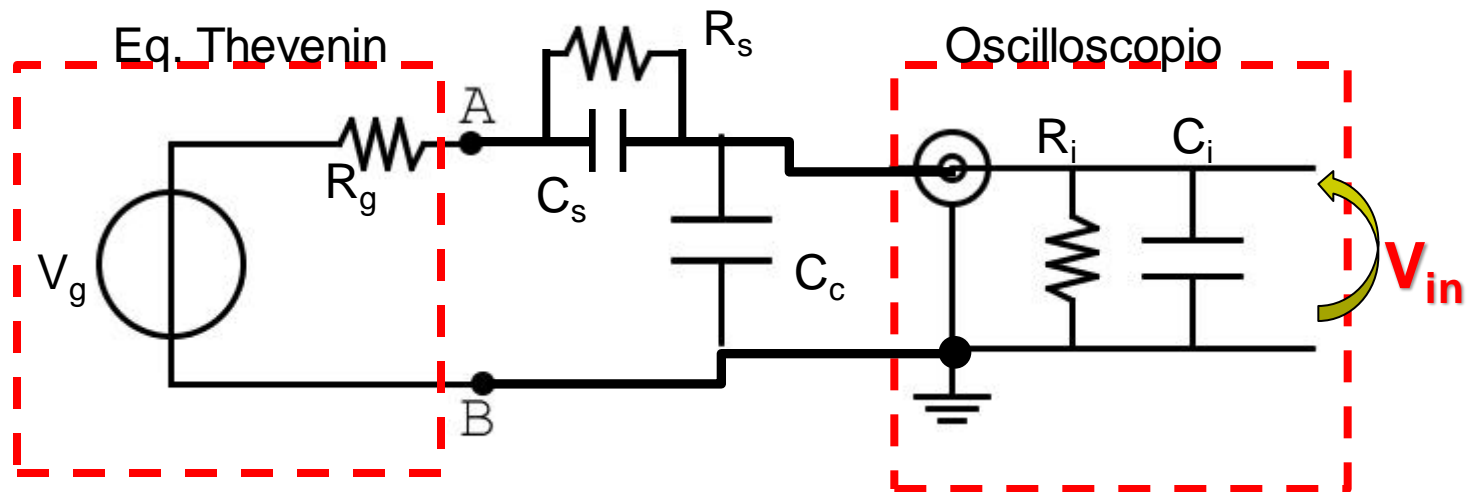
Valutiamo quindi $\left| \frac{V_{in}}{V_g} \right|$



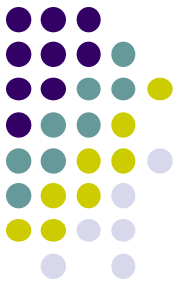
L'Oscilloscopio digitale: la sonda ed il suo utilizzo



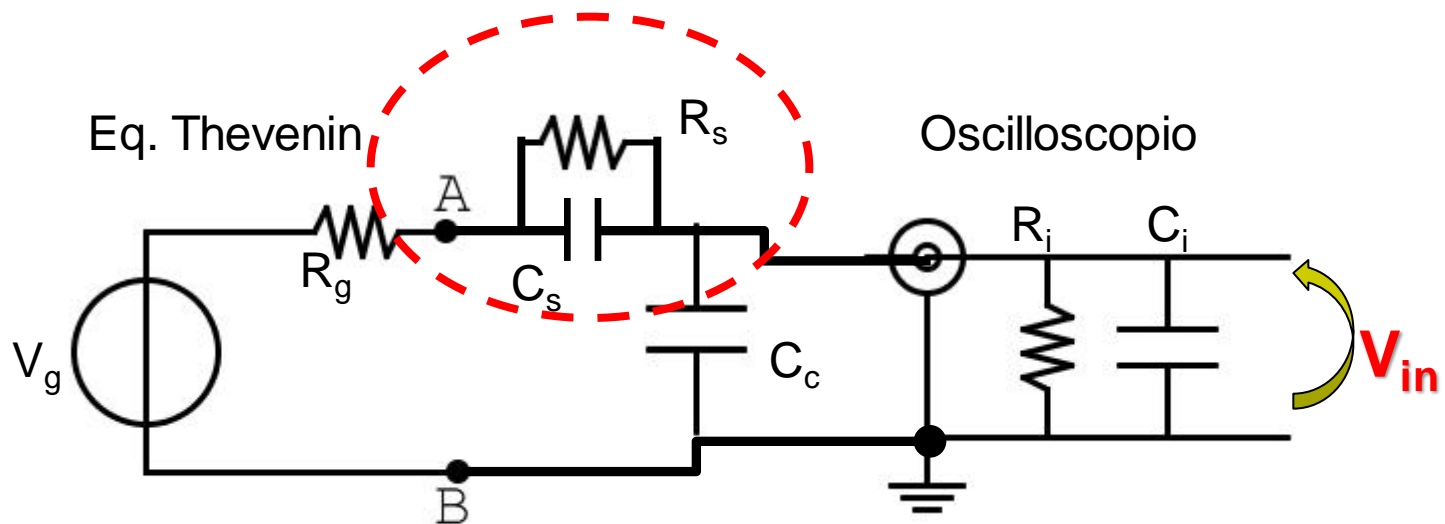
Facciamo delle semplificazioni...valutando il circuito equivalente in alta frequenza (per esempio @ 100 MHz)



L'Oscilloscopio digitale: la sonda ed il suo utilizzo

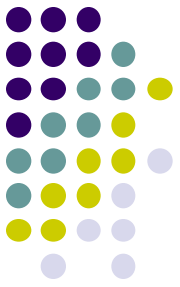


A 100 MHz $R_s \gg \left| \frac{1}{2\pi 10^8 \cdot C_s} \right|$ infatti $9M\Omega \gg 160\Omega$

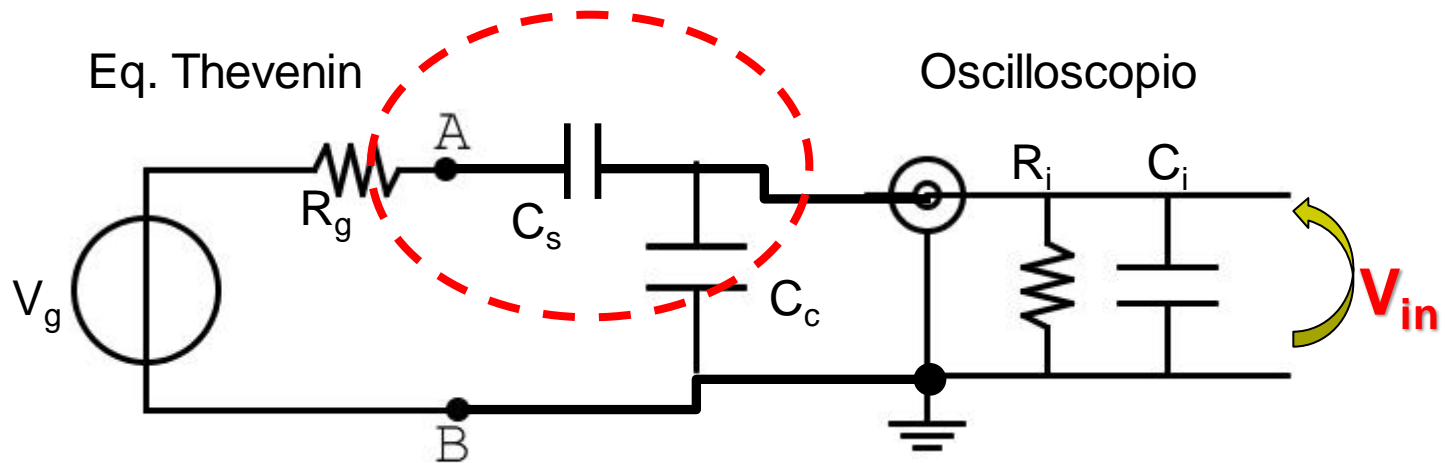


NB: ho usato $C_s=10\text{pF}$ e $C_c+C_i=90\text{pF}$

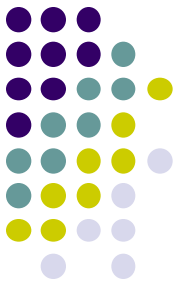
L'Oscilloscopio digitale: la sonda ed il suo utilizzo



A 100 MHz R_s può essere eliminato

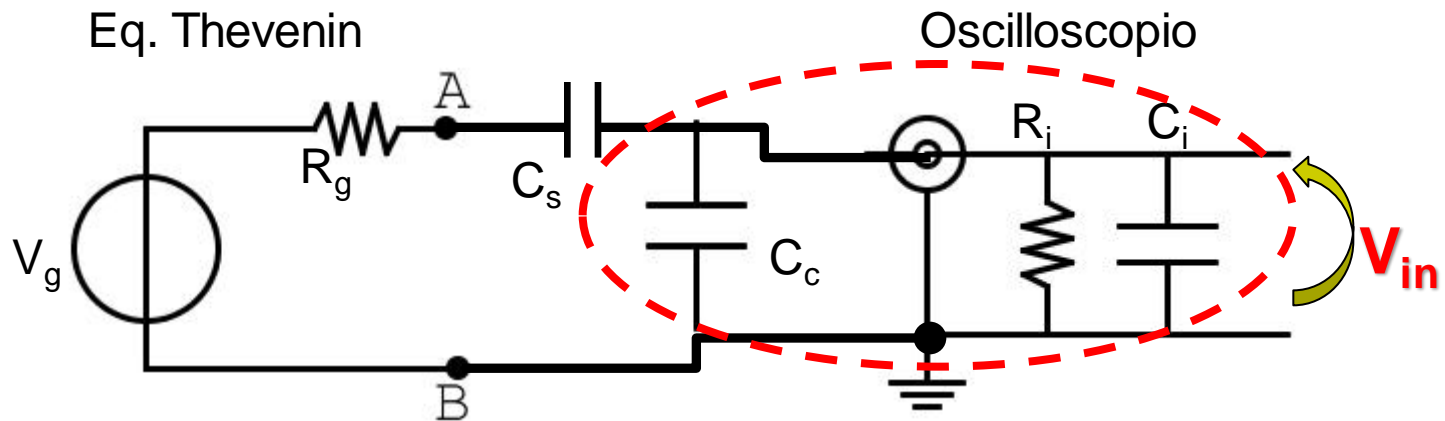


L'Oscilloscopio digitale: la sonda ed il suo utilizzo



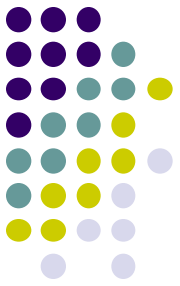
$$\text{A } 100 \text{ MHz } R_i \gg \left| \frac{1}{2\pi \cdot 10^8 \cdot (C_i + C_c)} \right|$$

infatti $1 \text{ M}\Omega \gg 18 \Omega$

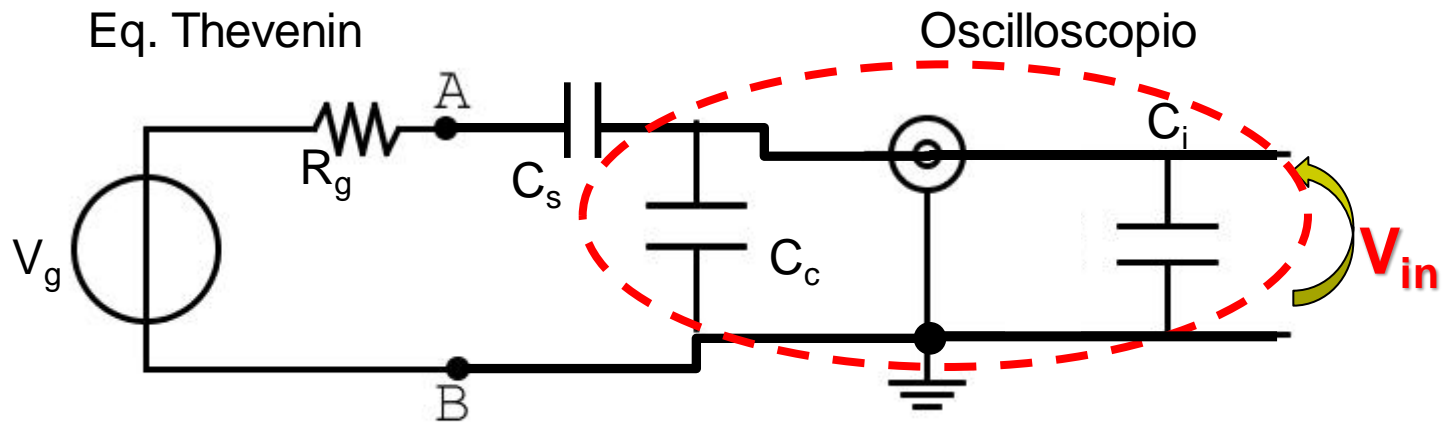


NB: ho usato $C_s = 10 \text{ pF}$ e $C_c + C_i = 90 \text{ pF}$

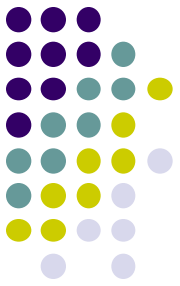
L'Oscilloscopio digitale: la sonda ed il suo utilizzo



A 100 MHz R_i può essere eliminato

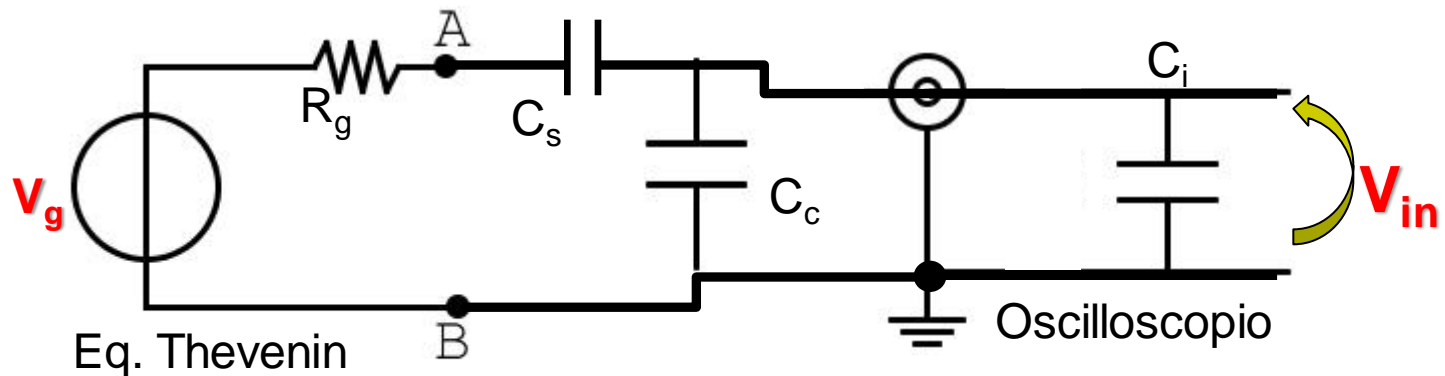


L'Oscilloscopio digitale: la sonda ed il suo utilizzo

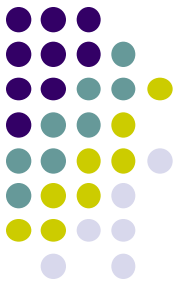


A questo punto la f_t del filtro ottenuto può essere facilmente calcolata:

$$\left| \frac{V_{in}}{V_g} \right| = \frac{\frac{1}{s(C_c + C_i)}}{\frac{1}{s(C_c + C_i)} + \left(R_g + \frac{1}{sC_s} \right)}$$

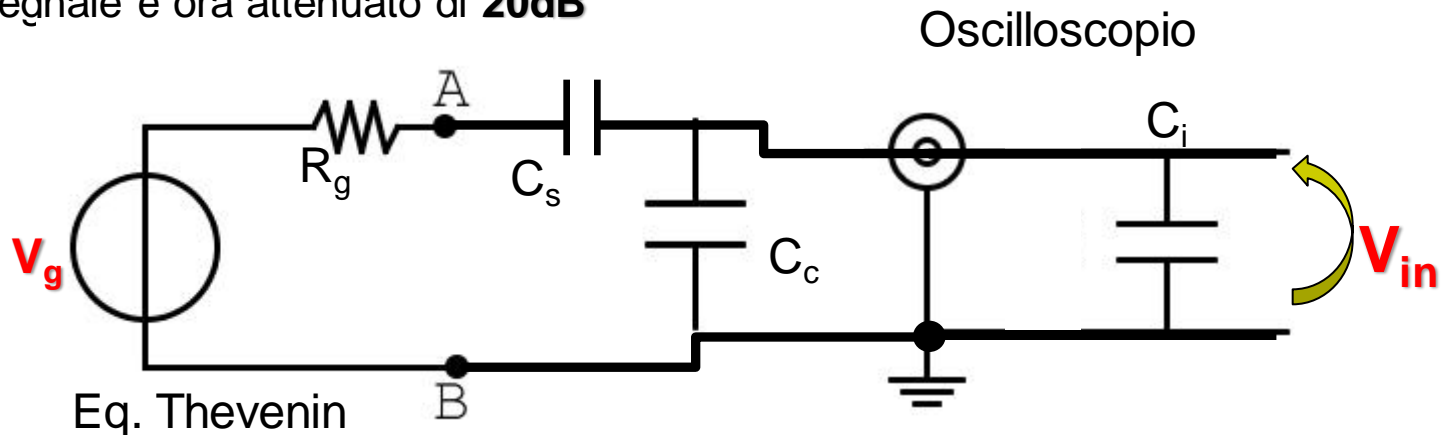


L'Oscilloscopio digitale: la sonda ed il suo utilizzo

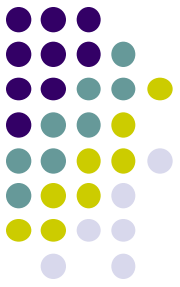


$$\begin{aligned} \left| \frac{V_{in}}{V_g} \right| &= \frac{\frac{1}{s(C_c + C_i)}}{\frac{1}{s(C_c + C_i)} + \left(R_g + \frac{1}{sC_s} \right)} = \frac{\frac{1}{s(C_c + C_i)}}{\frac{1}{s(C_c + C_i)} + \left(R_g + \frac{1}{s(C_c + C_i)/9} \right)} = \\ &= \dots = \frac{1}{10} \cdot \frac{1}{1 + s(R_g(C_c + C_i)/10)} \rightarrow f_t = \frac{1}{2\pi R_g(C_c + C_i)/10} \end{aligned}$$

- La frequenza di taglio è aumentata di un fattore **10** rispetto al caso senza sonda compensata ed inoltre $\left| \frac{V_{in}}{V_g} \right| = (@f = 0Hz) = \frac{1}{10}$
- Il segnale è ora attenuato di **20dB**



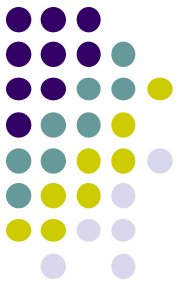
L'Oscilloscopio digitale: la sonda ed il suo utilizzo



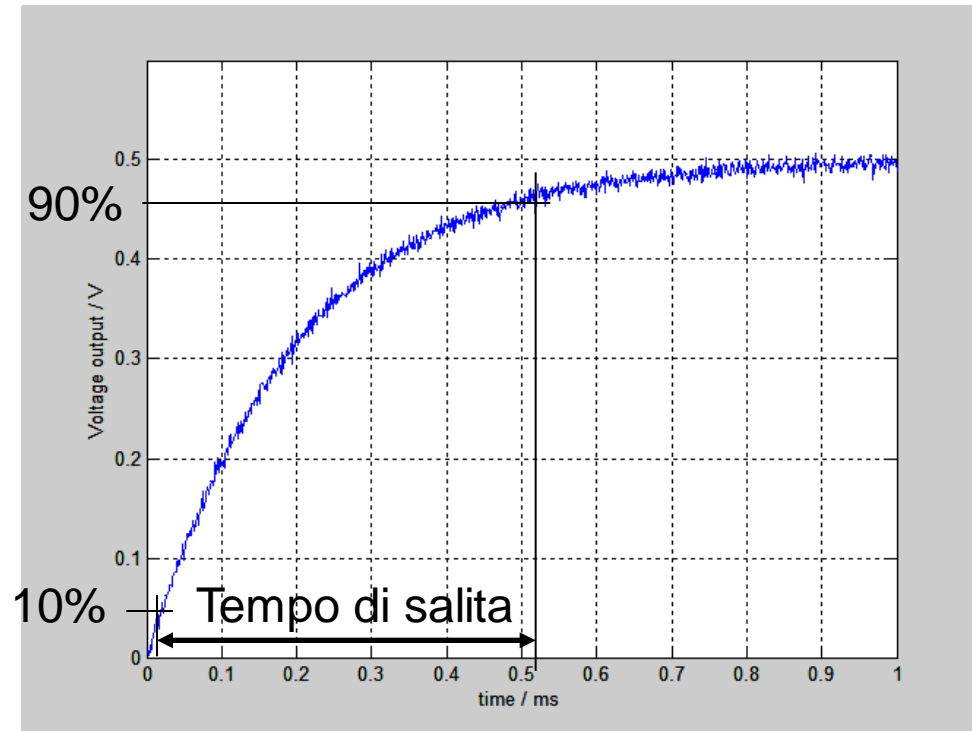
Esiste un trimmer sulla sonda per effettuare la compensazione



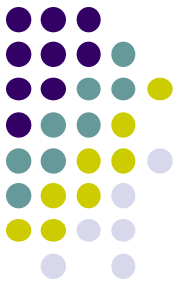
L'Oscilloscopio digitale: legame tra banda e tempo di salita



Definizione di tempo di salita:



L'Oscilloscopio analogico: legame tra banda e tempo di salita



- In un filtro passa basso (tipo RC) esiste una relazione “semplice” fra banda del filtro e tempo di salita (v. dimostrazione):

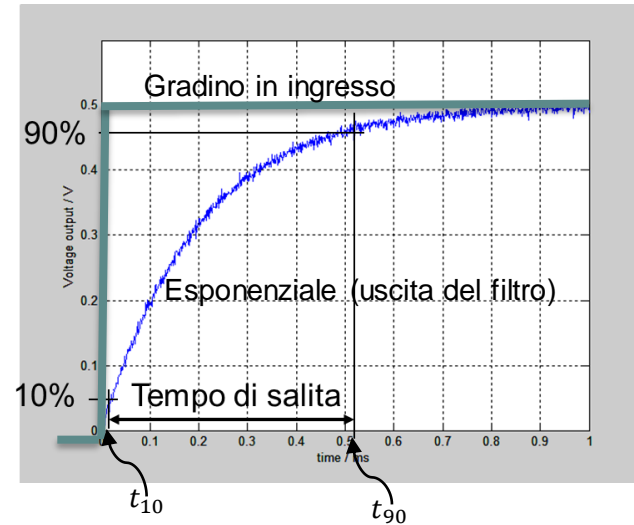
$$B \cdot t_s = 0.35$$

- Negli oscilloscopi digitali in generale la relazione “banda per tempo di salita” vale

$$B \cdot t_s = 0.35 \div 0.5$$

- Questa relazione varia a seconda dell'oscilloscopio utilizzato (consultate il manuale del DSO utilizzato) in quanto possono essere utilizzati filtri non necessariamente del primo ordine

Dimostrazione



$$V_{out}(t) = V_M(1 - e^{-t/\tau})$$

$$V_{out}(t_{10}) = 0.1 V_M = V_M(1 - e^{-t_{10}/\tau}) \rightarrow e^{-t_{10}/\tau} = 0.9$$

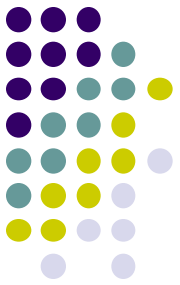
$$V_{out}(t_{90}) = 0.9 V_M = V_M(1 - e^{-t_{90}/\tau}) \rightarrow e^{-t_{90}/\tau} = 0.1$$

$$\frac{t_{10}}{\tau} = -\ln(0.9), \quad \frac{t_{90}}{\tau} = -\ln(0.1)$$

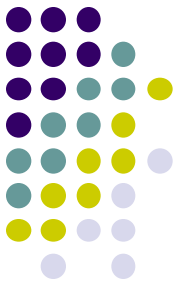
$$\text{tempo di salita (definizione)} = t_{90} - t_{10} = t_s = \tau(\ln(0.9) - \ln(0.1)) = 2.2\tau$$

$$t_s = 2.2 \cdot \tau = 2.2 \cdot RC = 2.2 \cdot \frac{1}{2\pi f_t} = 2.2 \cdot \frac{1}{2\pi f_t}$$

$$\text{poich  } f_t = B \text{ ottengo } t_s = \frac{0.35}{B} \text{ da cui } \mathbf{B \cdot t_s = 0.35}$$

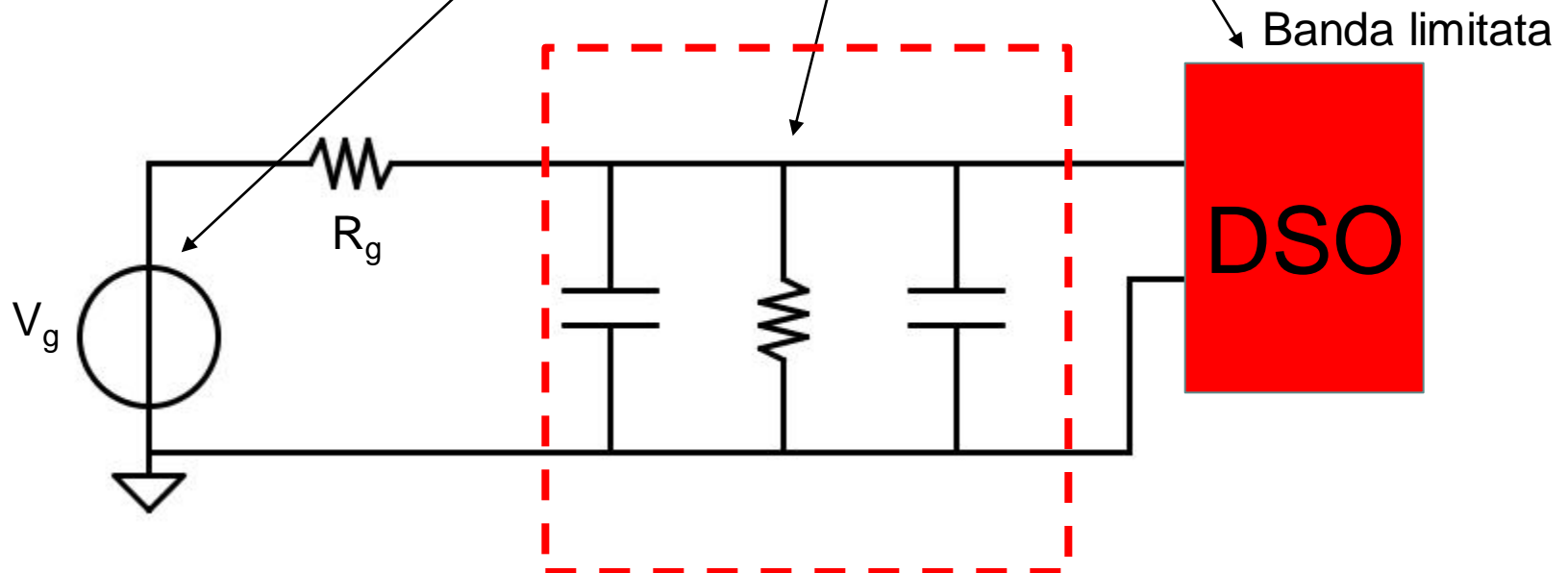


L'Oscilloscopio analogico: legame tra banda e tempo di salita

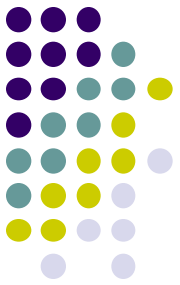


Inoltre vale la relazione (no dim.): il tempo di salita visualizzato $t_{s_visualiz.}$ in un DSO vale

$$t_{s_visualiz.}^2 = t_{s_segnale}^2 + t_{s_circ_mis}^2 + t_{s_oscillo}^2$$



L'Oscilloscopio digitale: legame tra banda e tempo di salita



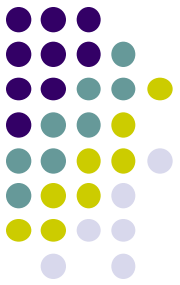
Il tempo di salita visualizzato, al quadrato, è pari alla somma dei quadrati del tempo di salita del segnale, dell'oscilloscopio e del circuito di collegamento fra oscilloscopio e generatore di segnali

$$t_{s_visualiz.}^2 = t_{s_segnale}^2 + t_{s_circ_mis}^2 + t_{s_oscillo}^2$$

- Esempio: il circuito di collegamento fra generatore e DSO ha un tempo di salita $t_{s_circ_mis}$ trascurabile
 - Generatore di segnale con banda 30MHz $\rightarrow t_{salita} = 11.6\text{ns}$
 - Oscilloscopio analogico di banda 60MHz $\rightarrow t_{salita} = 5.8\text{ns}$
 - Tempo di salita t_{sv} visualizzato sullo schermo $\rightarrow 13.0\text{ns}$

$$t_{sv} = \sqrt{(11.6\text{ ns})^2 + (5.8\text{ ns})^2} = 13\text{ ns}$$

L'Oscilloscopio digitale: legame tra banda e tempo di salita

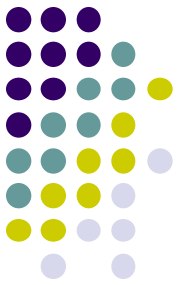


- ❑ Se la banda dell'oscilloscopio aumenta allora è possibile visualizzare fronti di salita del segnale più ripidi
- ❑ La banda del DSO deve essere adeguatamente ampia se si vogliono vedere fronti di salita ripidi



From: <https://www.tek.com/>

Esercizio



Si vuole misurare il tempo di salita di un segnale fornito da un generatore avente resistenza interna $R_g = 50 \, \Omega \pm 5\%$ con un oscilloscopio con le seguenti caratteristiche:

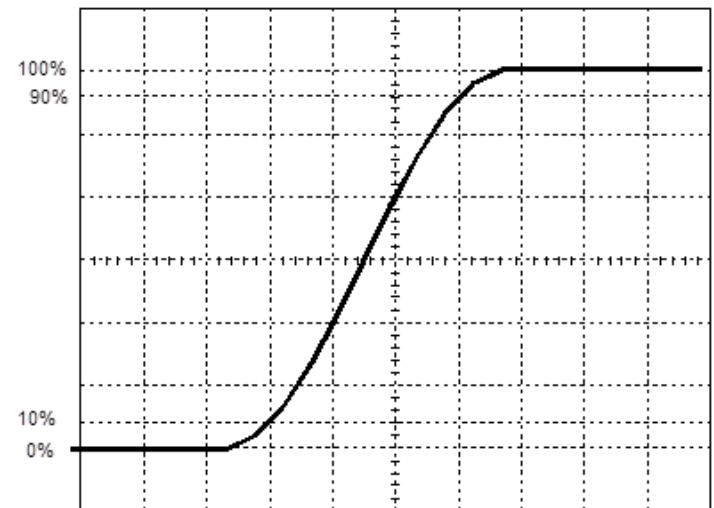
$$R_{in} = 1 \, \text{M}\Omega, \pm 1\%$$

$$C_{in} = 20 \, \text{pF}, \pm 5\%$$

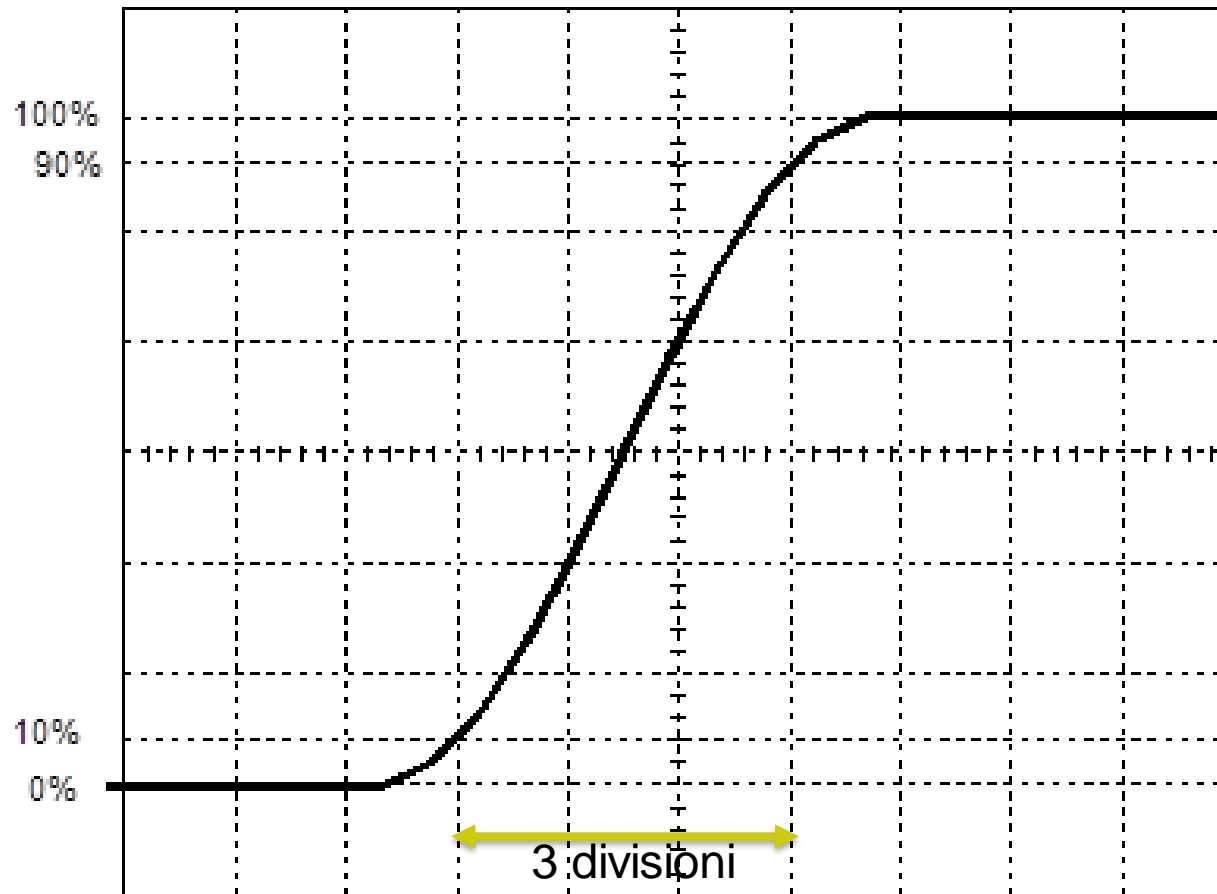
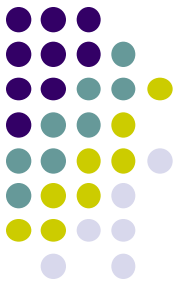
$$B = 200 \, \text{MHz}, \pm 5\%$$

Collegando il generatore all'oscilloscopio mediante un cavo coassiale avente capacità distribuita C_d pari a $100 \, \text{pF}, \pm 5\%$ e impostando il fattore di deflessione orizzontale al valore $K_x = 10 \, \text{ns/div}$ (incertezza $\pm 0.01\%$), lo schermo dell'oscilloscopio visualizza l'immagine riportata in figura:

Stimare la misura del tempo di salita t_x del segnale



Soluzione



$$\text{Tempo di salita} = 3 \text{ div} \cdot 10\text{ns/div} = 30\text{ns}$$

Soluzione

Inoltre

$$t_{visualiz.}^2 = t_{s_segnale}^2 + t_{s_oscillo}^2 + t_{s_circuito_misura}^2$$

dai dati del problema il tempo di salita dell'oscilloscopio è:

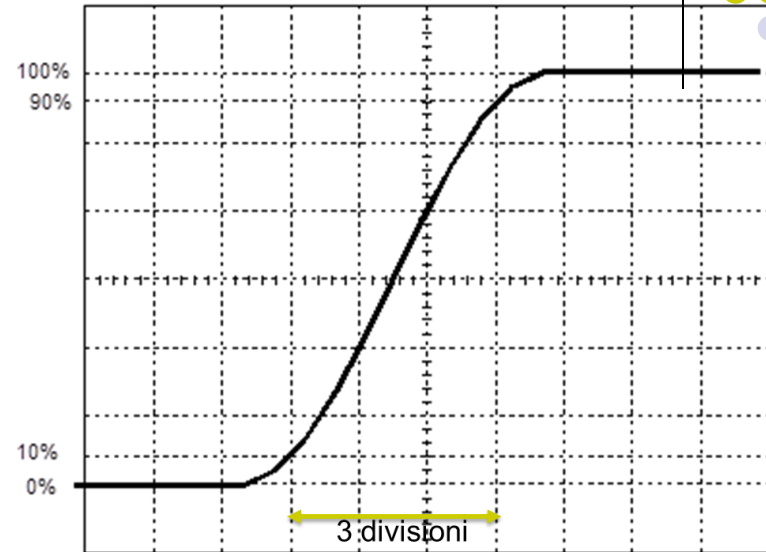
$$t_{s_oscillo} = \frac{0.35}{B} = \frac{0.35}{2 \cdot 10^8} = 1.75ns$$

Inoltre il circuito utilizzato è del tipo in figura la cui frequenza di taglio può essere calcolata con la teoria svolta per la sonda dell'oscilloscopio: $f_t \approx \frac{1}{2\pi \cdot R_G \cdot (C_d + C_{in})}$

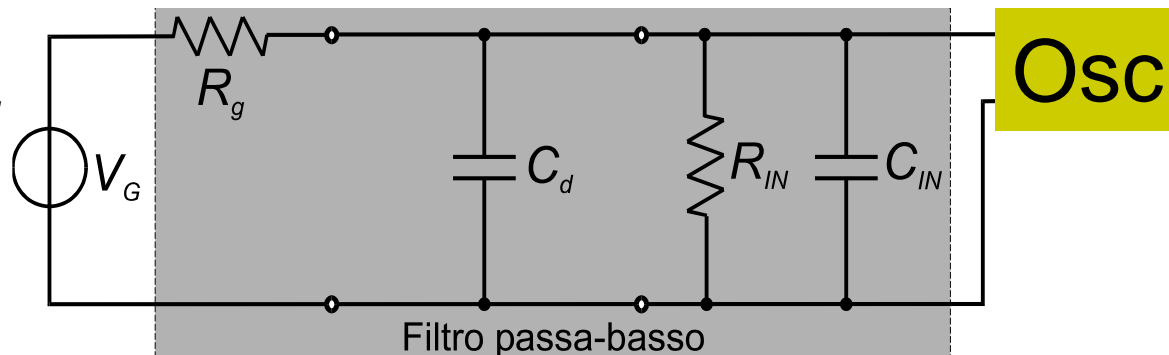
$$t_{s_circuito_misura} = \frac{0.35}{f_t} = 13.2ns$$

Si tenga presente che

$$R_G // R_{in} \approx R_G$$



$$\text{Tempo di salita} = 3 \text{ div} \cdot 10ns/div = 30ns$$



Soluzione

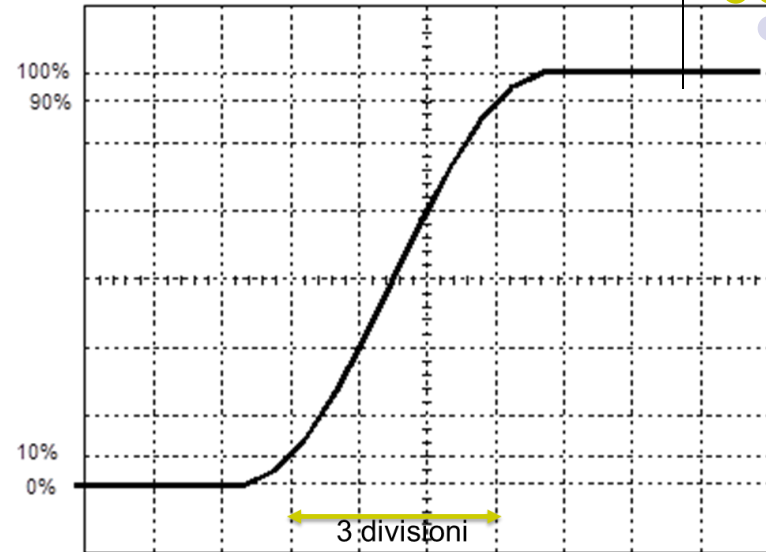
Infine:

$$t_{segnale} = \sqrt{t_{s_visualizzato}^2 - t_{s_oscillo}^2 - t_{s_circuito_misura}^2} \approx 26.9ns$$

Quindi il tempo di salita visualizzato è di 30ns, se tolgo i contributi sistematici di oscilloscopio e circuito di ingresso, ho un valore di 26.9ns

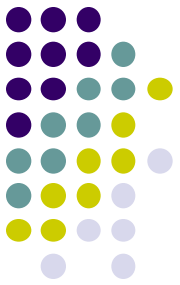
Osservando che il tempo di salita dell'oscilloscopio introduce un tempo di salita trascurabile posso considerare come modello matematico il seguente:

$$\begin{aligned} t_{segnale} &= \\ &= \sqrt{t_{s_visualizzato}^2 - t_{s_circuito_misura}^2} = \\ &= \sqrt{(L_{ts}K_x)^2 - (0.35 \cdot 2\pi \cdot R_g(C_d + C_{in}))^2} \end{aligned}$$



$$\text{Tempo di salita} = 3 \text{ div} \cdot 10ns/\text{div} = 30ns$$

Soluzione



$$t_{segnale} = \sqrt{t_{s_visualizzato}^2 - t_{s_circuito_misura}^2} = \sqrt{(L_{ts}K_x)^2 - (0.35 \cdot 2\pi \cdot R_g(C_d + C_{in}))^2}$$

Questo è il modello matematico con il quale effettuare il calcolo dell'incertezza con il metodo deterministico:

$$\delta t_{segnale} = \left| \frac{\partial t_{segnale}}{\partial L_{ts}} \right| \cdot \delta L_{ts} + \left| \frac{\partial t_{segnale}}{\partial K_x} \right| \cdot \delta K_x + \left| \frac{\partial t_{segnale}}{\partial R_g} \right| \cdot \delta R_g + \left| \frac{\partial t_{segnale}}{\partial C_d} \right| \cdot \delta C_d +$$
$$+ \left| \frac{\partial t_{segnale}}{\partial C_{IN}} \right| \cdot \delta C_{IN}$$

Effettuando i calcoli si ottiene \rightarrow $\delta t_{segnale} = 2.4ns$

Risultato finale della misura: $t_{segnale} = (26.9 \pm 2.4)ns$